

DYNAMISKA MODELLER FÖR PRIMÄRSEDIMENTERING I RENINGSVERK

ROLAND LARSSON
GÖRAN SCHRÖDER

RE-146 september 1974
Inst. för Reglerteknik
Lunds Tekniska Högskola

DYNAMISKA MODELLER FÖR PRIMÄRSEDIMENTERING I
RENINGSVERK

Roland Larsson
Göran Schröder

Handledare: Gustaf Olsson

Augusti 1974

ABSTRACT

I examensarbetet har uppställdts en rumsberoende och tids- beroende matematisk modell för en primärsedimenteringsprocess i ett (biologiskt) reningsverk, i form av en uppsättning kopplade olinjära differentialekvationer.

Arbetet har inneburit litteraturstudier, uppställande av matematiska modeller, samt framtagning av ett programpaket för simulerings av primärsedimenteringsförlloppet.

Ett antal simuleringar har gjorts, med olika variationer i inkommende vätskeflöde och inkommende suspenderade ämneskoncentrationen, för att undersöka systemets dynamiska beteende.

Några enkla regleringar har gjorts genom att variera slamborttagningsintervallet, vilka gav vissa positiva resultat. En annan viktig möjlighet för att styra utgående suspenderade ämneskoncentrationen är genom tillståndet av kemikalier i primärsedimenteringsbassängen.

Detta har ej medhunnts inom ramen för examensarbetet. Bristen på mätdata är mycket stor, därför är modellen endast i vissa delar verifierad mot verkliga förhållanden. Fler och bättre mätdata från primärsedimenteringsprocessen behövs för att utveckla bättre processmodeller och bättre regleralgoritmer.

ABSTRACT

This report describes a mathematical model for a primary sedimentation process of a (biological) wastewater treatment plant.

The space and time dependent dynamics are described by coupled non-linear ordinary differential equations. The model illustrates the dynamic behaviour of suspended solids in a primary sedimentation basin, as a function of space and time.

The work has included literature studies of wastewater treatment, developing of a mathematical model as well as a computer programming for simulation of the differential equations.

A number of simulations have been performed with different variations of influent flow rate and suspended solids, in order to study and to verify the dynamics of the system. Some simple control schemes for sludge removal in order to control the output water quality have been tried out.

Control by chemical precipitation is another control possibility. Because of lack of time this control has not been tried.

Due to lack of measurement data, it has only been possible to verify parts of the models to real data. More and better data from primary sedimentation processes are needed to evaluate better process models and control algorithms.

Författarna till denna rapport tackar Sören Gothardsson, LTH, Institutionen för vattenbyggnad, för hans visade intresse att hjälpa oss med litteratur, mätvärden och personliga råd.

Pollution.

1. If you visit American city

You will find it very pretty.

Just two things of which you must beware,

Don't drink the water and don't breathe the air.

Pollution, Pollution,

They got smog and sewage and mud,

Turn on your tap and get hot and cold running crud.

2. See the halibuts and the sturgeons,

Being wiped out by detergeons.

Fish gotta swim and birds gotta fly,

But they don't last long if they try.

Pollution, Pollution,

You can use the latest toothpaste,

And then rinse your mouth with industrial waste.

3. Just go out for a breath of air,

And you'll be ready for medicare,

The city streets are really quite a thrill,

If the hoods don't get you, the monoxide will.

Pollution, Pollution,

Wear a gasmask and a veil

Then you can breathe long as you don't inhale.

4. Lots of things there that you can drink,

But stay away from the kitchen sink.

The breakfast garbage that you throw into the Bay,

They drink at lunch in San José.

So go to the city, see the crazy people there,

Like lambs to the slaughter

They're drinking the water

And breathing (cough....) the air.

Tom Lehrer

INNEHÅLL:	Sida
1. Inledning och problemställning.	1
2. Uppbyggnad av ett biologiskt reningsverk.	2
2.1. Vad är smutsvatten?	
2.2. Ingående processer och deras funktion.	
2.2.1. Förbehandling.	
2.2.2. Primärsedimentering.	
2.2.3. Aktiv - slamprocess.	
2.2.4. Slambehandling.	
2.3. Driftstekniska problem.	
3. Primärsedimentering.	7
3.1. Olika slag av sedimentering.	
3.2. Turbulent diffusion.	
4. Dynamiska modellen - massflödesekvation.	10
4.1. Kontinuitetsekvationen.	
4.2. Indelning av sedimenteringsbassäng.	
4.3. Modell approximationer.	
4.4. Massflödesekvationen utan diffusion.	
4.5. Partiklarnas sjunkhastighet.	
4.6. Randvillkor.	
4.7. Turbulent diffusion.	
4.8. Partikelklasser.	
4.9. Slamzon.	
4.10. Sammanfattning av modellekvationer.	
5. Problemlösningsmetodik.	21
5.1. Lösning av massflödesekvationen.	
5.2. Blockschema till dataprogrammet.	
5.3. Lösningsgång i dataprogrammet.	

6. Simuleringsar.	26
6.1. Parameterbestämningar.	
6.2. Öppna systemet.	
6.2.1. Stegstörningar.	
6.2.2. Pulsstörningar.	
6.2.3. Sinusstörningar.	
6.3. Reglering av utgående suspenderade ämneskond. med slamborttagning.	
6.3.1. Stegstörning.	
6.3.2. Pulsstörning.	
6.3.3. Sinusstörning.	
6.4. Insignal - utsignal samband.	
7. Summering.	33
7.1. Slutsatser.	
7.2. Modellutvidgningar och råd.	
8. Referenser.	
Appendix A.	
Appendix B.	
Appendix C.	

1. Inledning och problemställning.

Understött av STU och i samarbete med Datema AB utförs vid bl.a LTH ett projekt att bestämma dynamiken hos ett biologiskt reningsverk. Som en underavdelning i detta projekt har vi gjort en förstudie av och uppställt en dynamisk modell av primär-sedimentering.

Tidigare arbeten på primärsedimentering, har i regel gått ut på att ställa upp statiska modeller, vilka har visat sig vara otillräckliga. Eftersom speciellt ingående vätskeflödet aldrig är konstant måste därför dynamiskt beskrivningssätt sökas, vilka kan användas som underlag för simulerings och regleringar av primärsedimenteringsprocessen.

Modellen ger ingen detaljerad bild av enskilda partiklarnas rörelse eller vätskeflödets fullständiga strömningar. Förfloppet har istället beskrivits med utgångspunkt från de dominera^{de} företeelserna vid primär-sedimentering, såsom partiklarnas sjunkhastighet, flockning, flödeshastighet och diffusion.

Ekvationerna har därefter anpassats till vissa mätdata, erhållna från litteraturen.

Liknande arbeten har utförts av Bryant, Wilcox och Andrews (12) och (13) och av Schainker och Wells(19).

2. Uppbyggnad av ett biologiskt reningsverk.

En kort orientering om processerna i ett biologiskt reningsverk ges i detta kapitel. Fler detaljer kan inhämtas i någon standardbok på området, exempelvis Eckenfelder (1) och Metcalf-Eddy (2).

Vagt uttryckt kan sägas att målsättningen med ett reningsverk är, att erhålla ett godtagbart rent vatten ut ur reningsverket, oberoende av variationer och störningar i ingående smutsvattnets sammansättning, inflöde och förureningsgrad.

Smutsvatten används som en sammanfattning av allt vatten, som innehåller förurenningar som exempelvis kommer ifrån hushåll och/eller industri. Förutom stor skillnad i de ingående förurenningarnas fysikaliska egenskaper är det stora variationer i koncentrationer, giftighet och biologisk nedbrytbarhet.

2.1. Vad är smutsvatten.

Smutsvatten innehåller förhållandevis små mängder främmande ämnen. Olsson, Dahlquist m.fl. (3) säger att av smutsvatten ifrån hushåll är 99.95 % vatten. Detta visar klart svårigheten att mäta, påvisa och angripa förurenningarna.

De ingående förurenningarna är av vitt skilda slag och kan förekomma som fasta olösta eller fasta lösta partiklar samt förekommer i olika kemiska föreningar. Alla förurenningar tillsammans benämnes totala suspenderade ämnen, TSS. Indelning kan göras i fysiska, kemiska och biologiska grupper.

- Fysisk -

Fasta ämnen

- Kemisk -

Organiska ämnen (protein, fett)

Organiska ämnen (kväve, fosfor, tunga metaller, giftiga ämnen)

Gaser (syre, metan)

- Biologisk -

Virus

Mera detaljerade uppgifter kan fås ur Metcalf-Eddy (2) och Eckenfelder (1), kap. 1.

Koncentrationen av de olika ämnena är för det mesta så små att enskilda bestämmningar är oftast omöjliga att utföra. På grund av detta införes andra kvalitativa variabler för att karakterisera smutsvattnet.

	Inflöde	Utflöde
Biokemiskt syrebehov (BOD) mg/l	100 - 250	5 - 15
Kemiskt syrebehov (COD) mg/l	200 - 700	15 - 75
Total fosforhalt mg/l	6 - 10	0.2 - 0.6
Kväve mg/l	20 - 30	2 - 5
Suspenderade ämneskonc. mg/l	100 - 400	10 - 25

Fig. 2.1. Typiska värden på några viktiga parametrar.

För exakta definitioner av BOD och COD, se (1).

Ytterligare svårigheter utgör kraftiga variationer i flödeshastighet och smutsgrad av inkommende smutsvatten, inte bara mellan olika reningsverk, utan även inom samma reningsverk beroende på dygnsvariationer, och momentana variationer.

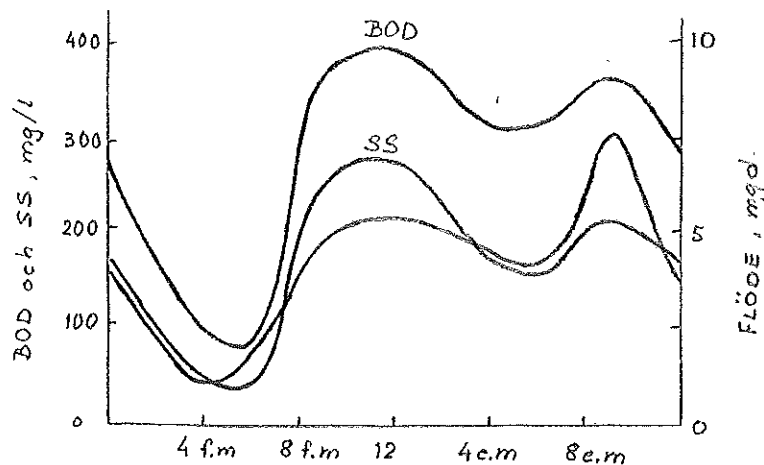


Fig. 2.2. Typiska värden på dygnsvariationer i ett reningsverk.

Liknande fig. finns angivna i en hel rad artiklar exempelvis art. (12) och (13).

2.2. Ingående processer och deras funktioner.

Ett reningsverk består av ett stort antal processer. Fig. 2.1. visar en schematisk bild över ett biologiskt reningsverk. För närmare studium av reningsverk se Metcalf-Eddy (2) och Eckenfelder (1).

2.2.1. Förbehandling.

Förbehandling används för att ta bort större enheter, fett, olja, skum och dyligt från det inkommande smutsvattnet, för att härigenom göra primärsedimenteringen effektivare.

Finmaskiga galler används för att avlägsna de större enheterna. En annan möjlighet är att mala sönder dessa större smutspartiklarna innan de kommer in i sedimenteringsbassängen.

I förbehandlingen kan dessutom tillsättas kemikalier för att öka flockningsgraden och därigenom även öka sjunkhastigheten i primärsedimenteringen, vilket medför bättre rening.

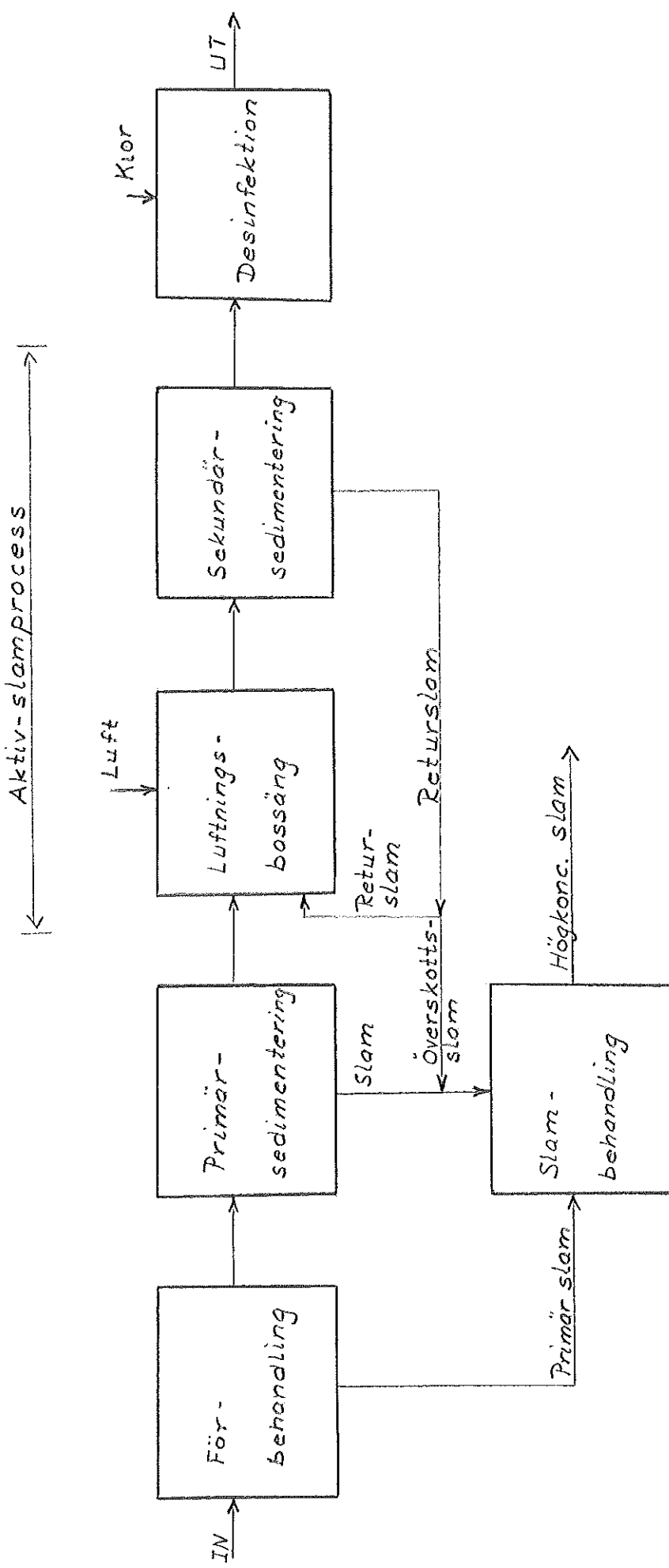
2.2.2. Primärsedimentering.

Primärsedimenteringens två huvuduppgifter är dels att erhålla en låg halt av utgående sedimenterbara suspenderade ämnen (SS) innan det behandlas i luftningsbassängen, dels att erhålla ett koncentrerat slam. Genom att låta smutsvattnet långsamt flyta fram i bassängen, kommer smutspartiklarna med densitet större än vattnet att sjunka till botten genom påverkan av gravitation. Primärsedimenteringen har ingen effekt på lösta komponenter i smutsvattnet utan dessa tas om hand i aktiva slamanläggningen. Bra sedimenteringsbassänger skall ta bort c:a 50 - 65% av totala suspenderade partiklarna, och 65 - 75% av sedimenterbara partiklarna. Närmare detaljer kan erhållas ur (2) kap. 11, (1) kap. 2, (17).

2.2.3. Aktiv - slamprocess.

Aktiva - slamprocessen består av två huvudenheter, dels en luftningsbassäng dels en sekundärsedimenteringsbassäng.

Utflödet från primärsedimenteringsbassängen passerar in i



Figur 2:1 Biologiskt reningssystem

Källa: Gustaf Olsson, m.fl. (3); J.O. Bryant Jr., L.C. Wilcox (12).

luftningsbassängen där det kommer i kontakt med ett koncentrerat slam av mikroorganismer (aktivt slam) och luft. Det aktiva slammet förbrukar lösliga organiska material (BOD reducering), och omvandlar det till inaktiva produkter (CO_2 och vatten) och fast cellmassa.

I bassängen sker en kraftig omrörning, vilket medför att utflödet från luftningsbassängen utgörs av en homogen vätskeblandning. Detta utflöde passerar nu in i sekundärsedimenteringsbassängen vilken har två funktioner. Dels skall den ge ett rent utgående vattenflöde, dels erhålla en mycket hög koncentration på det biologiska slammet (aktivt slam).

Mängden tillsatt syre, luftningsgraden och kvantiteten slam från sekundärsedimentering som leds tillbaka till luftningsbassängen, är de viktigaste reglermöjligheterna för att erhålla bra BOD borttagning, samt ett slam som sjunker och färtjockas bra.

2.2.4. Slambehandling.

Avvattning och torkning är fysiska operationer använda för att reducera fukthalten i slammet, och göra detta mera lätthanterligt. Andra sätt att minska vattenmängden i slammet är genom vacuum filtrering eller centrifugering.

2.3. Driftstekniska problem.

Önskemålet är att erhålla ett reningsverk utrustat med noggrann mätapparatur och reglerutrustning, och som med hjälp av detta möjliggör en högre grad av rening. Möjligheterna begränsas för närvarande starkt av den ringa kännedom om de ingående processerna, konstruktion av mätutrustning, kraftiga variationer i inflöde och suspenderade ämneskoncentrationen, störningar etc. Dessutom uppstår problemet var i bassängen eventuella mätare bör placeras, för att ge de mest signifikanta upplysningarna om tillståndet i bassängen.

På grund av ovannämnda osäkerheter framgår svårigheten att konstruera on-line utrustning, med dess behov av ordentliga styr- och regleralgoritmer. För djupare kännedom se (3), kap.4.

3. Primärsedimentering.

På basis av koncentrationen och på partiklarnas tendens att påverka varandra, indelas partiklarnas sätt att sedimentera i fyra klasser. Oftast inträffar mer än en sedimenteringstyp samtidigt.

På grund av turbulens både lokalt och i hela bassängen, uppkommer diffusion, vilket ger en rörelse som motverkar partiklarnas sedimentering.

3.1. Olika slag av sedimentering.

Som ovan nämnts är antalet sedimenteringstyper fyra och utgöres av:

a. Diskret sedimentering härför sig till den sedimentering, som sker då diskreta partiklar i en lösning med låg koncentration sjunker. Partiklarna sjunker individuellt, och ingen påverkan inträffar mellan närliggande partiklar. Detta innebär att ingen förändring i varken storlek, form eller densitet sker.

En annan förekommande benämning på denna typ av sedimentering, är fri sedimentering.

Vid denna sedimenteringstyp kan partiklarnas rörelse fullständigt beskrivas av Newton's och Stokes' klassiska rörelselagar för sfäriska partiklar.

$$v = \frac{(\rho_s - \rho_w) \cdot g \cdot D^2}{18 \cdot \mu}$$

v = partikelhastigheten

ρ_s = suspenderade ämnenas densitet (kg/m^3)

ρ_w = vattnets densitet (kg/m^3)

g = tyngdacc. (m/sek^2)

μ = viskositeten ($\text{kg}/\text{m sek}$)

D = sfäriska partiklarnas diameter (m)

Exempel på denna typ av sedimentering utgör sandpartiklar i vatten.

b. Om partiklarna har tendens att påverka varandra genom sammanslagning till större enheter, talar man om flocksedimentering. Partiklarnas massa ökar, vilket medför en större sjunkhastighet. Sannolikheten för flockning varierar beroende på flödes-

hastighet, bassängdjup, partikelkoncentration, partikelstorlek och kanske viktigast, partiklarnas uppehållstid i bassängen. Att bestämma nödvändiga parametrar är inte möjligt genom matematisk analys, utan dessa fås genom sedimenteringsexperiment i laboratorium.

Experimentet tillgår i en behållare (2,5m hög, 15 cm diam.), som fylls med en enhetlig välblandad slamlösning. Temperaturen bör under försöket vara konstant, för att undvika termiska effekter. Genom att ta prover på lösningen vid olika tidpunkter och höjder, erhålls diagram enl. fig. 3.1. Nivåkurvorna anger i procent borttagna suspenderade ämnen av initialkoncentrationen.

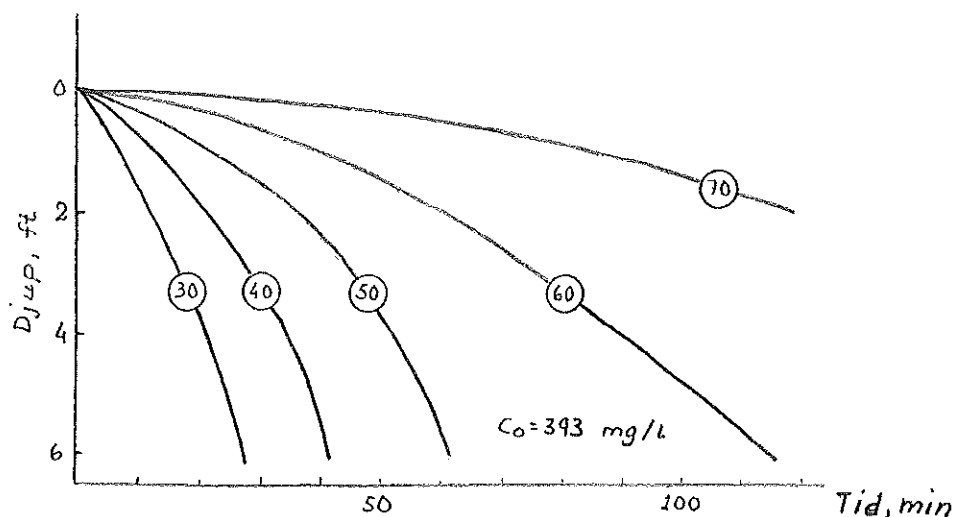


Fig. 3.1. Nivåkurvor angivande procent borttagna suspenderade ämnen av initialkonz.

Kurvorna får efter en tid en konstant lutning, dvs. konstant sedimenteringshastighet, beroende på att ett jämviktstillstånd inträffar mellan flockbildning och flockuppbrytning.

Flocksedimentering är den dominerande sedimenteringstypen vid primärsedimentering.

c. Vid aktivt slam och då koncentrationen av suspenderade ämnen överstiger c:a 500 mg/l, talar man om zonsedimentering.

Partiklar flockas, men hindras dessutom att sedimentera av närliggande partiklar. Därvid har partiklarna en benägenhet att bibehålla inbördes avstånd och sedimentera i form av zoner. Sjunkprofilerna uppvisar här en flackare struktur, dvs. smuts-

partiklarna har lägre hastighet, än för flocksedimentering. Ekvationer erhålls på experimentell basis.

d. Längst ner i en bassäng är koncentrationen av suspenderade partiklar, slam, så hög att ytterligare sedimentering endast kan inträffa genom kompression. Detta kallas kompressions-sedimentering.

För beräkningar av sedimenteringshastighet vid zon - och kompressionssedimentering, utnyttjas Kynch-teori. Denna grundar sig på att sedimenteringshastigheten endast beror av den lokala koncentrationen. Se vidare art. (16) och (14).

Mer detaljer om kap. 3.1. se (1), kap. 2 och (2), kap. 8.

3.2. Turbulent diffusion.

Turbulent diffusion utgör benämningen på den process, som vill utjämna koncentrationsskillnader i bassängen. De komplicerade matematiska uttryckena som beskriver diffusionstermens utseende, dvs. framför allt diffusionskonstantens utseende, finns beskrivet i art. (15). Härav framgår att diffusionskonstanten är proportionell mot vätskeflödets hastighet.

4. Dynamiska modellen - Massflödeskvationen.

Primärsedimenterings modellen bygger i första hand på Bryant och Wilcox (12) och på Schainker och Wells (19) artiklar. I referens (13) finns en inventering och korta omdömen av primärsedimenterings modeller i litteraturen. Tyvärr har författaren inte hunnit få tag på de artikelarna i hänvisningarna.

Med utgångspunkt ifrån referenserna har uppställdts en modell över dynamiken hos en primärsedimenteringsanläggning. Modellen har gett en uppsättning tidsoberoende, olinjära, kopplade, partiella differential-ekvationer med sedimentterbara suspenderade ämneskoncentrationen (SS), som tillståndsvariabler, kallad massflödeskivationen.

4.1. Kontinuitetsekvationen.

Allmänna kontinuitetsekvationen lyder enligt ref. (4)

$$\operatorname{div} \bar{i} + \frac{\partial n}{\partial t} = h \quad (1)$$

i = strömmen av SS. ($\text{kg}/\text{m}^2 \cdot \text{tim}$)

h = utifrån tillförd mängd SS. ($\text{kg}/\text{m}^3 \cdot \text{tim}$)

n = koncentrationen av SS. (kg/m^3)

Ekvation (1) innebär att materien d.v.s. suspenderade ämnena är oförstörbara och massjämvikt, kontinuitet råder. Anta att Fick's lag (2) gäller för i . Då erhålls ekvation (3) ur (1) och (2).

$$\bar{i} = -D \cdot \nabla n \quad (2)$$

$$- D \cdot \nabla n + \frac{\partial n}{\partial t} = h \quad (3)$$

D = diffusionskonstant (m^2/tim)

Genom en enkel omskrivning får ekvation (3) på den form som den utnyttjas på

$$\frac{\partial n}{\partial t} = h + D \cdot \nabla n \quad (4)$$

Dessutom måste, naturligt nog, kontinuitetsekvationen vara uppfylld för vätskeflödet. Alltså inom ett godtyckligt begränsat område i bassängen är

$$Q_{IN} = Q_{UT} \quad (5)$$

Q_{IN} = inkommande vätskeflöde (m^3/tim)

p.s.s. Q_{UT} .

Dynamiken bestämmes sålunda väsentligen av massbalansekvationer av Typen (4) och (5). Innan massflödesekvationerna, modell-ekvationerna formuleras i 4,4 - 4,8 definieras ett antal variabler i 4,2 och redovisas modellapproximationer i 4,3.

4.2. Indelning av sedimenteringsbassäng.

Betrakta ett rektangulärt vertikalplan av en sedimenteringsbassäng, vilken indelats i sektioner I, J , enligt fig. nedan. Denna indelning bestämmer hur termerna i massflödesekvationerna skall indiceras.

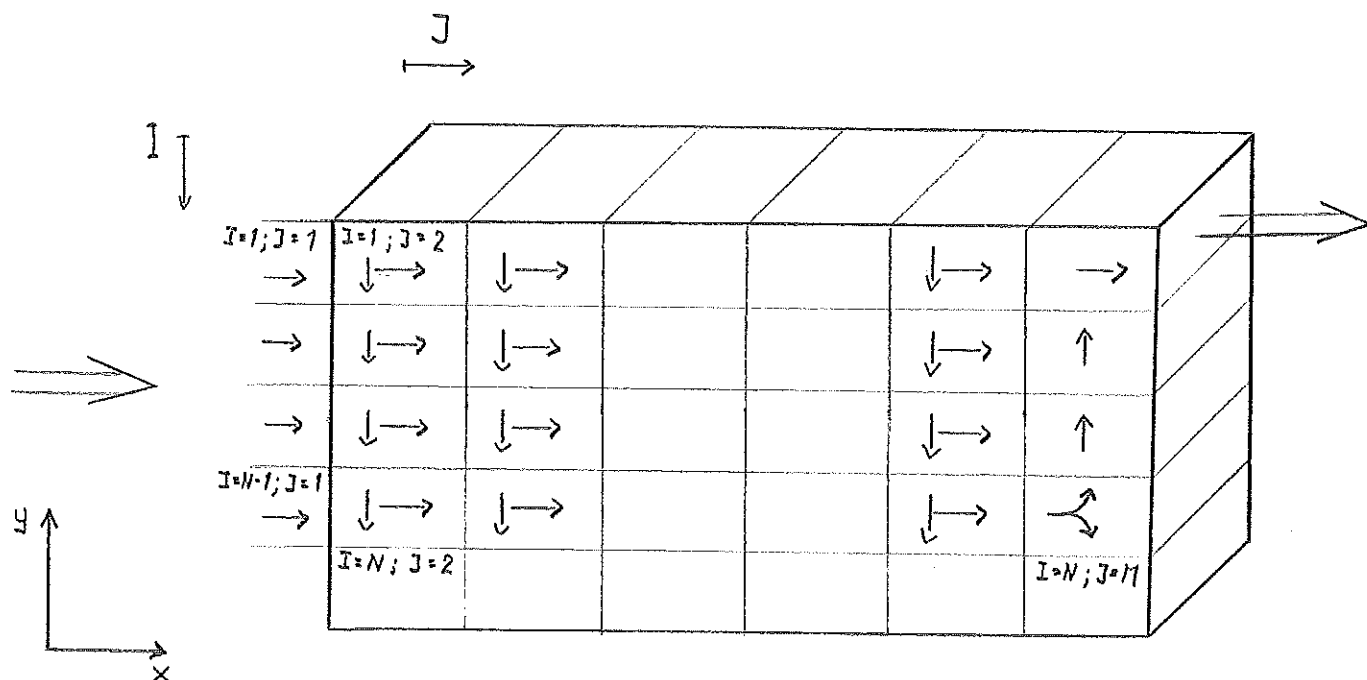


Fig. 4.1. Bassägindelning. I, J sektionsindex. Massflöden dess-
utom inritade.

Smutsvattnet rinner in i bassängen från vänster i insläppningszonen, och rinner ut ur bassängen genom den översta sektionen till höger, utsläppningszon.

Beteckningar har införts i

Insläppningszon $I = 1, N - 1; J = 1$.

Slamzon $I = N; J = 2, M$.

Utsläppningszon $I = 1; J = M$.

Egentliga bassängen omfattar alltså $I = 1, N; J = 2, M$.

Förhållanden i varje sektion antas konstanta, d.v.s. förureningsgraden av suspenderade ämnen, flödeshastigheten etc.

Detta har gjorts för att på välkänt sätt komma approximera partiella differentialekvationer med rumsdifferenser. Se vidare 4.4.

En ytterligare utveckling av modellen kan göras genom att man antar att det är flera olika partikelklasser inom varje sektion. Och förhållandena för de olika partikelklasserna är konstanta. Mer om detta i 4.5.

4.3. Modellapproximationer.

Nedanstående approximationer antas gälla för modellen:

- Laminärt vätskeflöde, med speciellt vätskeflödesmönster i sista kolonnen, $J = M$.
- Vätskans (vattnets) egenskaper är konstanta, d.v.s. inget beroende av temperatur, pH etc.
- Partiklarna är tillräckligt lätta för att erhålla en hastighetskomponent, som är lika stor som vätskans (vattnets).
- Massflödeskvationen får speciellt utseende vid randen.
- Randvillkoren presenteras nedan.
- Partiklarnas sjunkhastighet (se fig. 3.1. eller 5.3.) är oberoende av inkoncentrationen i bassängen, och det är flocksedimentering.
- Till en början försummas diffusionstermen.

4.4. Massflödeskvationen utan diffusionsterm.

Med utgångspunkt från kontinuitetsekvationen ekv. (4) där

diffusionstermen försummas, och ekv. (5) för vätskeflödet uppställas i 4.4. första steget till vår modell av primärsedimenteringsanläggningen. Senare i 4.7. införes en diffusionsterm.

Observera skillnaden mellan snarlika definitioner. Vätskeflöde har dimensionen M^3/tim , och utgör som ordet säger en transport av vätska. Flödet har också dimensionen M^3/tim , men är en transport av partiklar. Flödet multiplicerat med koncentrationen av suspenderade ämnen ger massflödet, dimension $(mg/l) \cdot M^3/tim = g/tim$.

Tillståndsvariablerna för systemet är koncentrationen av suspenderade ämnen (eng. suspended solids) i resp. sektion $SS(I,J)$. Dess dimension är som antyts ovan mg/l . Index I,J hänför sig till fig. 4.1.

Eftersom både massjämvikt och vätskebalans skall råda samtidigt i varje sektion är ekv. (10) och (11) uppfyllda samtidigt.

$$\frac{\partial SS(I,J)}{\partial t} + v(I,J) = MF_{IN}(I,J) - MF_{UT}(I,J) \quad (10)$$

$$Q(I,J)_{IN} = Q(I,J)_{UT} \quad (11)$$

$Q(I,J)_{IN}$, $Q(I,J)_{UT}$ = vätskeflöde in resp. ut ur en sektion I,J . (M^3/tim)

MF_{IN} , MF_{UT} = massflöde in resp. ut ur en sektion I,J . ($mg/l \cdot M^3/tim$)

$SS(I,J)$ = suspenderade ämneskoncentrationen i sektion I,J . (mg/l).

$v(I,J)$ = volymen av sektion I,J . (M^3).

Tillsammans med vidstående figur över positiva flödesriktningar i en sektion I,J kan ekv. (10) skrivas om, och första uppställningen av massflödeskvationen erhålls.

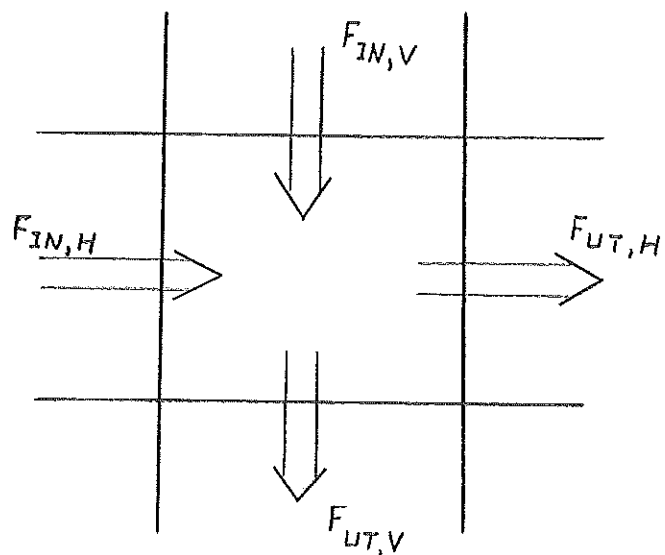


Fig. 4.2. Positiva flödesriktningar till ekv. (12).

$$\frac{\partial SS(I,J)}{\partial t} + v(I,J) = F_{IN}(H) \cdot SS(I,J-1) + SS(I-1,J) \cdot F_{IN}(V) - \\ - (F_{UT}(H) + F_{UT}(V)) \cdot SS(I,J) \quad (12)$$

$F_{IN}(H)$ = Horisontalflöde in i en sektion I,J . (M^3/tim).

p.s.s. $F_{IN}(V)$, $F_{UT}(H)$ och $F_{UT}(V)$.

$SS(I,J)$ = Suspenderade ämneskoncentrationen i en sektion (mg/l)

$v(I,J)$ = Sektionsvolym (M^3). Hädanefter konstant = $v, \forall I,J$.

Horisontalflödena F_{IN}, H och F_{UT}, H är proportionella mot vätskeflödet i bassängen, enlig approximation i 4.3.

$$F_{IN}(H) = F_{UT}(H) = Q_{IN}/N-1 = FLH \quad (13)$$

Q_{IN} = vätskeflöde i bassängen. (M^3/tim)

$N = \max I$. Se fig. 4.1.

FLH = flöde horisontellt i en sektion.

Vertikalflödena är proportionella mot partiklarnas sjunkhastighet.

Se vidare 4.5.

$$F_{IN}(V) = F_{UT}(V) = v(I,J) \cdot A(I,J) \quad (14)$$

$v(I,J)$ = partiklarnas sjunkhastighet i en sektion. (M/tim)

$A(I,J)$ = horisontell sektionsyta. (M^2). Hädanefter konstant = A .

4.5. Partiklarnas sjunkhastigheter.

På partiklarnas sjunkhastigheter, v , finns inte några matematiska uttryck, utan v antas bero av partiklarnas uppehållstid i bassängen enligt nedanstående fig. 4.3. Jfr. likheten med fig. 3.1.

I 3.1. har redogjorts för hur man erhåller diagram enligt fig. 3.1. Ur figur 4.3: erhålls:

Område 1: $T(0,a)$ $v = 0.54 M/TIM$

Område 2: $T(a,b)$ $v = 1.20 M/TIM$

Område 3: $T(b,c)$ $v = 1.80 M/TIM$

Område 4: $T(c,\infty)$ $v = 2.40 M/TIM$

T = uppehållstid. (TIM).

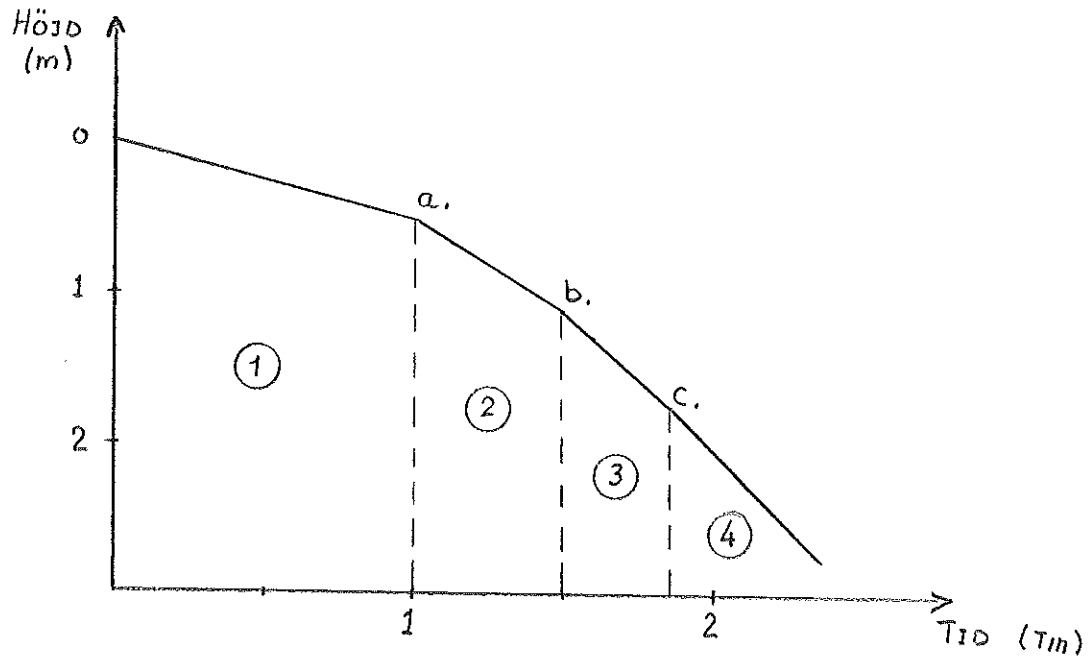


Fig. 4.3. Partiklarnas sjunkhastighet som funktion av dess uppehållstid.

Kurvorna i den ovanstående figuren utgör den 50%-iga sjunkkurvan i fig. 3.1., linjärt approximerad genom fyra punkter. Hastigheten i område 1 antas gälla en halvtimme längre än i fig. 3.1. Beroende på antagandet att smutsvattnets oro i inloppet har en varaktighet av c:a en halvtimma. Därefter följer partiklarna sjunkkurvan i fig. 3.1. Resonemanget är medvetet grovt, men har vid simulerningar visat sig ge bättre koncentrationsfördelning i bassängen.

4.6. Randvillkor.

Ekvationerna (13) och (14) är de generella flödesuttryckena vid laminärströmning men vid ränderna gäller speciella villkor.

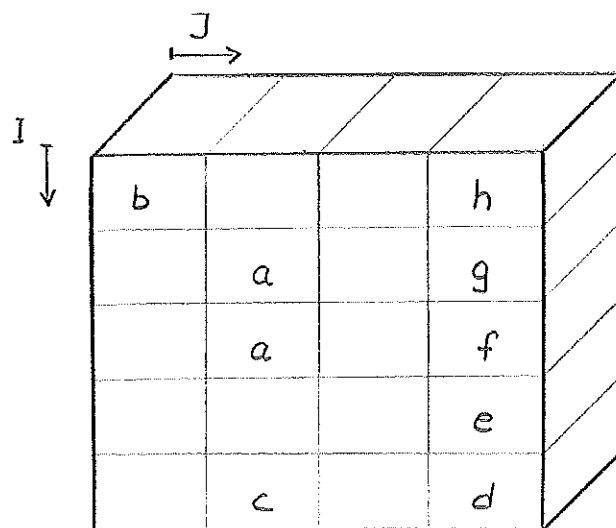


Fig. 4.4. Flödeskoponterna i olika punkter i bassängen.

a. Inre sektionerna: $2 \leq I \leq N-1; 2 \leq J \leq M-1$.

Då gäller ekv. (13) och (14).

b. Sektionerna vid bassängytan: $I = 1; 2 \leq J \leq M-1$.

Då gäller ekv. (13) och (14) men $F_{IN}(V) = 0$.

c. Nästan hela slamzonan: $J = N; 2 \leq I \leq M-1$.

Ekv. (14) gäller men $F_{UT}(V) = 0$, och $F_{UT}(H) = F_{IN}(H) = 0$.

Då $J = M$, d.v.s. sista kolonnen har antagits ett speciellt flödesmönster. Jfr. artikel (11).

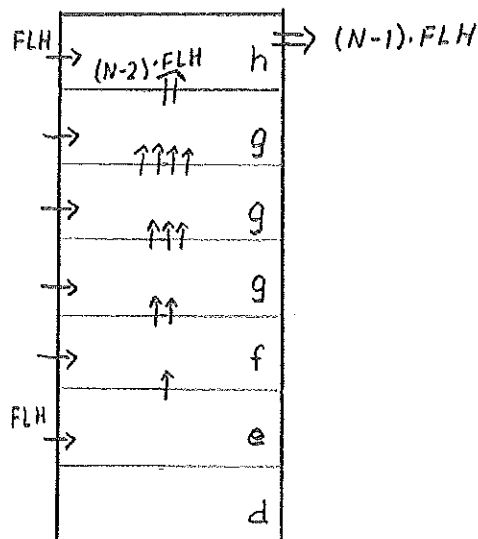
d. $I = M; J = M$. $F_{IN}(H) = F_{UT}(H) = 0; F_{UT}(V) = 0$.

En viss procent av partikelmängden i sektionen ovanför (c), antas sedimentera, ($1 - sk$), det medför att $F_{IN}(V) = (1 - sk) \cdot FLH$. Egentligen skulle $(1 - sk)$ hämföra sig till suspenderade ämneskoncentrationen, men det är enklare att programtekniskt låta det ingå i flödeskoponterna.

e. $I = N-1; J = M$.

$$F_{IN}(H) = FLH; F_{UT}(H) = 0$$

$$F_{IN}(V) = (-sk) \cdot FLH; F_{UT}(V) = (1 - sk) \cdot FLH$$



f. $I = N-2; J = M.$

$$F_{IN}(H) = FLH; F_{UT}(H) = 0$$

$$F_{IN}(V) = -FLH \cdot 2; F_{UT}(V) = -sk \cdot FLH.$$

g. 2 $I \leq N-3; J = M.$

$$F_{IN}(H) = FLH; F_{UT}(H) = 0$$

$$F_{IN}(V) = -FLH \cdot (N-I)$$

$$F_{UT}(V) = -FLH \cdot (N-1-I)$$

Fig. 5.5. Kolonn $J = M$.

Vätskeflöden, storlekar och riktningar.

h. $I = 1; J = M.$

$$F_{IN}(H) = FLH \quad F_{UT}(H) = FLH \cdot (N-1) = Q_{IN}$$

$$F_{IN}(V) = 0 \quad F_{UT}(V) = -FLH \cdot (N-2)$$

Dessa flödeskomponenter $d - h$ gäller om $N \geq 5$. OM $N < 5$ kan liknande flödeskomponenter mycket enkelt tas fram p.s.s.

Jfr. artikel (19) med författarnas sätt att behandla sista kolonnen.

Eftersom en del flödestermmer blir negativa i sista kolonnen, kommer även massflödesekvationerna att modifieras, ty flödet skall multipliceras med suspenderade ämneskoncentrationen från den sektionen som flödet kommer ifrån, för att erhålla massflödet.

Exempelvis i sektionen $I = N-2; J = M$, (f).

$$\frac{\partial SS(I,J)}{\partial t} \cdot V = SS(I,J-1) \cdot F_{IN}(V) + SS(I,J) \cdot F_{IN}(V) - \\ - SS(I+1,J) \cdot F_{UT}(V)$$

P.s.s. för de andra sektionerna d, e, g, och h.

4.7. Turbulent diffusion.

Det i avsnitt 4.3. antagandet om enbart laminärströmning är ej tillfyllest. Hänsyn måste tagas till vätskans cirkulerande rörelse i bassängen dels till den lokala omrörningen som sker. I den aktuella modellen tages endast hänsyn till den lokala omrörningen, kallad turbulent diffusion, inte minst p.g.a. den

ringa tillgången till mätdata. Orsaken härtill är att kunskap krävs om vätskans hastighet i varje punkt i bassängen, för att erhålla ett matematiskt uttryck av diffusionstermen.

Diffusionstermen ekv. (4) är endast beroende av koncentrationsdifferenserna mellan bassängens olika sektioner, samt diffusionskonstanten, vilken alltså är densamma i hela bassängen.

$$\frac{\partial \underline{SS(I,J)}}{\partial t} = \frac{1}{V} \left(\sum_1^4 SS(I,J) \cdot F \right) + D \cdot \frac{\partial^2 SS(I,J)}{\partial y^2} \quad (20)$$

$SS(I,J)$ = suspenderade ämneskonz. (mg/l).

F = flöden. (M^3/tim).

D = diffusionskonstant. (M^2/tim).

Diffusionen i x-led försummas, eftersom dess inverkan är mycket mindre än vätskeflödets påverkan på partiklarna. Av samma anledning är det ingen diffusion i bassängens sista kolonn.

Enligt S. Gothardsson (20) bör diffusionskonstanten ha ett värde mellan $0,5 - 7 \text{ M}^2/\text{tim}$.

4.8. Partikelklasser.

En utvidgning av modellen kan ske genom att införa flera partikelklasser. Detta är en naturlig utvidgning beroende på partiklarnas differenser i storlek, densitet, form etc.

Exempelvis kan vi ur fig. 3.1. indela partiklarna i tre klasser, vilka var för sig sedimentrar enligt 30, 50 resp. 70%-iga kurvan.

Massflödesekvationen blir då enligt nedan,

$$\begin{aligned} \frac{\partial \underline{S(I,J,K)}}{\partial t} &= \frac{1}{V} \left\{ S(I,J-1,K) \cdot F_{IN}(H) + S(I-1,J,K) \cdot F_{IN}(V) - \right. \\ &\quad \left. - S(I,J,K) \cdot (F_{UT}(H) + F_{UT}(V)) \right\} + D^k \cdot N \cdot \frac{\partial^2 SS(I,J)}{\partial y^2} \quad (30) \end{aligned}$$

$$N = \left| \frac{S(I,J,K)}{SS(I,J)} \right| \quad (31)$$

$$SS(I,J) = \sum_{K=1}^P S(I,J,K) \quad (32)$$

$$D = D' \cdot N \quad (33)$$

$D \circ D'$ = diffusionskonstant. (M^2/tim).

N = normeringskonstant.

$S(I,J,K)$ = suspenderade ämneskonz. i en sektion och en partikelklass, K . (mg/l).

$SS(I,J)$ = lokala suspenderade ämneskonz. (mg/l).

P = totala antalet partikelklasser. Observera att diffusionen beror på lokala suspenderade ämneskoncentrationen.

Genom att införa ett antal partikelklasser (P st), blir modellen betydligt mer komplex. Antalet kopplade linjära differentialekvationer blir då $N \cdot (M-1) \cdot P$ istället för $N \cdot (M-1)$ stycken, och som vanligt svårt med mätdata.

Denna utvidgning av modellen hinner icke behandlas inom ramen för detta examensarbete.

4.2. Slamzon

Slamzon i ett reningsverk blir aldrig lika hög som en sektionshöjd i vår modell. Detta beror på att slammet ej tilläts växa hur mycket som helst p.g.a. kontinuerlig slamborttagning. Modellslamzoninnehåller däremot både ett hårt slamskikt och en sedimenteringszon, vilket försvarar vårt införande av diffusion från slamzon.

Bortförande av slam, sker i modellen genom momentan slamborttagning. Som ordet utsäger, så sker vid bestämda tidsintervall att suspenderade ämneskonz., (SS), i understa sektionen ($I=N$) sättes lika med näst understa sektionsradens.

Kontinuerlig slamborttagning i ett reningsverk innebär, att skovlar hela tiden vandrar i en cirkelbana i bassängen och bortför slam från bottnen. Se (2) sid 450.

Momentana slamborttagningen är alltså ett försök att modelltekniskt åskådliggöra den kontinuerliga slamborttagningen. Vi har i vår modell använt ett momentant slamborttagningsintervall av en timma, vilket vi anser motsvara den vanligast förekommande kontinuerliga slamborttagningen i ett reningsverk. Detta begränsar alltför kraftiga förändringar i slamborttagningsintervall p.g.a. ökad omrörning orsakad av skovlarnas större hastighet.

4.10. Sammanfattning av modellekvationen.

Till utgångspunkt för massflödeskvationen ligger ekvation (4) och (5) som säger att i en sektion av bassängen måste det råda både massbalans och vätskebalans samtidigt.

Dessutom har en hel rad approximationer satts upp. Modellen behandlas med endast en partikelklass. Ekv. (20), (30), (33) ger massflödeskivationen på den form som den utnyttjas i dataprogrammet.

$$\frac{\partial S(I, J, 1)}{\partial t} = \frac{1}{V} \left\{ S(I, J-1, 1) \cdot F_{IN, H} + S(I-1, J, 1) \cdot F_{IN, V} - S(I, J, 1) \cdot (F_{UT, H} + F_{UT, V}) \right\} + D \cdot \frac{\partial^2 SS(I, J)}{\partial y^2} \quad (40)$$

$S(I, J, 1)$ = suspenderade ämneskonc. av partikelklass 1 i sektion I, J . (mg/l).

F = flödeskomponenter. (M3/tim).

$SS(I, J)$ = totala suspenderade ämneskonc. i sektion I, J . (mg/l)

V = en sektions volym. (M3).

D = diffusionskonstant. (M2/tim).

$SS(I, J)$ = $S(I, J, 1)$ eftersom endast en partikelklass.

Massflödeskivationen används ändå på formen enligt ovan, ty dataprogrammet är förberett för fler partikelklasser.

5. Problemlösningsmetodik.

I 5.1. redogörs för hur diffusionstermen approximeras och hur massflödeskvationen lösas med och utan diffusionsterm. Schematisk flödesplan till dataprogrammet ges i 5.2. och en detaljerad lösningsgång av dataprogrammet presenteras i 5.3.

5.1. L ö s n i n g s m e t o d i k .

utan diffusionsterm har massflödeskivationen en enkel form, se ekv. (40).

$$\begin{aligned} S(I, J, 1, TID + T) &= \int_0^T \frac{1}{V} \left\{ S(I, J-1, 1, TID) \cdot F_{IN, H} + \right. \\ &\quad \left. + S(I-1, J, 1, TID) \cdot F_{IN, V} - S(I, J, 1, TID) \cdot (F_{UT, H} + F_{UT, V}) \right\} dt = \\ &= \int_0^T \frac{\partial S(I, J, 1, TID)}{\partial t} dt \end{aligned} \quad (50)$$

Den går att integrera upp enkelt direkt, eftersom alla ingående termerna är konstanta. Endast värden ifrån föregående samplingsintervall behövs, vilket medför att kopplingen mellan differentialekvationerna ej blir något problem.

Differentialekvationerna lösas lämpligen kolonvis. Ekv. (50) \Rightarrow

$$S(I, J, 1, TID + T) = S(I, J, 1, TID) + \frac{\partial S(I, J, 1, TID)}{\partial t} \cdot T \quad (51)$$

$S(I, J, 1, TID)$ = suspenderade ämneskonc. i en sektion och en partikelklass vid tiden = TID (mg/l).

T = samplingsintervallet. (tim).

Övriga beteckningar enligt kap. 5.

Med diffusionsterm blir massflödeskivationen mer komplex och mer avancerade lösningsmetoder behövs för att lösa differentialekvationerna.

Diffusionstermen approximeras med differenser med avseende på rumsvariabeln y. Det ger en diffusionsterm enligt nedan,

$$D \cdot [SS(I-1, J) - 2 \cdot SS(I, J) + SS(I, J)] / (\Delta y)^2 \quad (52)$$

$$\Delta y = BD/N \quad (53)$$

SS = total suspenderade ämneskonz. (mg/l)

y = approx av steglängden i y-led. (M)

BD = bassängdjup. (M)

N = totala antalet sektionsrader.

Även diffusionstermen innehåller konstanter, men det går ändå inte att integrera upp massflödeskvationerna direkt, utan ett iterativt förfarande måste tas till. Eftersom

$$\frac{\partial S(TID)}{\partial t} = D \cdot \frac{\partial S^2(TID)}{\partial y^2}, \text{ värmceledningsekvationen,}$$

inte innehåller någon tidsförskjutning, måste man återera för att fullständigt lösa ekvationen med avseende på både rums- och tidsvariablerna, och alltså p.s.s. för massflödeskvationen.

Se Numerisk Analys AK (4) och FK (5), kap. 10 resp. kap. 3. Ekv. (52) och (53) insatt i (40) ger den differentialekvation som skall lösas.

$$\begin{aligned} \frac{\partial S(I, J, 1, TID+T)}{\partial t} = & \frac{1}{V} \left\{ S(I, J-1, TID) \cdot F_{IN, H} + S(I-1, J, 1, TID) \cdot F_{IN, V} + \right. \\ & + S(I, J, 1, TID) \cdot (F_{UT, H} + F_{IN, V}) \Big\} + \frac{D}{(BD/N)^2} \cdot \left\{ SS^n(I-1, J, TID+T) - \right. \\ & \left. - 2 \cdot SS^n(I, J, 1, TID+T) + SS^n(I+1, J, TID+T) \right\} \end{aligned} \quad (54)$$

Beteckningar enligt ovan.

n = n:te iteration.

Ekv. (54) gäller då $n \geq 2$. Om $n = 1$ utnyttjas $SS(I, J, TID)$ i diffusionstermen, som startvärde.

Ekv. (54) lösas genom att integrera den, och sedan att sätta in de nya värdena i ekvationen igen (iteration), varefter iterationen avslutas då $|SS^{n+1}(I, J, TID+T) - SS^n(I, J, TID+T)| \leq \alpha$.

Vid numerisk lösning av ovanstående ekv. (54) uppkommer två problem. Först måste hänsyn tas till maximala flödeshastigheten contra samplingstiden. Detta problem, uppkommer i sista kolonnen andra raden (med våra data till programmet), ty här

är genomströmningshastigheten störst för partiklarna. Under ett samplingsintervall får partiklarna ej hinna strömma genom en hel sektion, såsom de nu är uppställda. Villkoret medföljer att $T \leq 0.15 \text{ TIM}$.

Andra problemet utgör ett stabilitetsproblem som uppkommer vid iteration av differensekvationen. Enligt Numerisk Analys (6) kap. 3 måste kvoten $\frac{D \cdot T}{(\Delta y)^2} \leq \frac{1}{2}$ i värmceledningsekvationen,

för att erhålla stabilitet. Författarna har funnit att värdet av kvoten $\frac{D \cdot T}{(\Delta y)^2}$ bör understiga 0.25, för att erhålla en acceptabel konvergenshastighet vid lösandet av massflödesekvationen.

5.2. Blockschema till dataprogrammet.

Detta är en kort förklaring till dataprogrammets funktion och uppbyggnad.

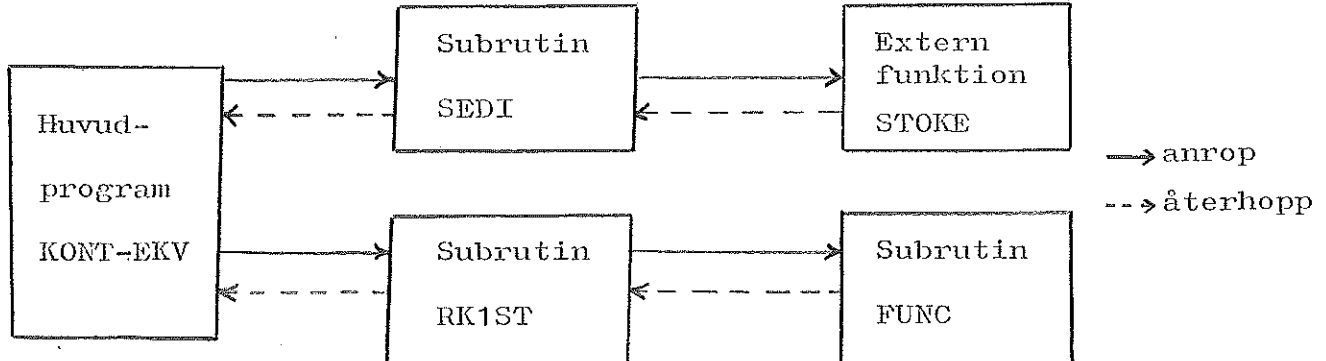


fig. 5.1. Blockschema över dataprogrammet.

I subrutin SEDI sker beräkning av flödeskoponenterna till storlek och riktning enl. ekv. (43) och (14). För uträkning av de vertikala flödeskoponenterna anropas den externa funktionen, STOKE vars värde erhållits ur fig. 4.3.

Subrutinen FUNC innehåller uttryckena på massflödesekvationerna (40). Dessa tillsammans med de från SEDI kända flödena och från huvudprogrammet, KONT-EKV, bekanta suspenderade ämneskonc.

användes för att i subrutinen FUNC beräkna massflödeskvationens värde. Detta värde hämtas av RK1ST för beräkning av ekvationens värde vid nästkommande samplingstid. Huvudprogrammet KONT-EKV utgör den samordnade länken och sköter inläsning, undanlagning, utskrift etc.

5.3. Lösningsgång i dataprogrammet.

I detta avsnitt beskrivs punktvis hur dataprogrammet är uppbyggt och hur detta skall lösas. Se även programhuvudet till KONT-EKV.

Inläsningsdel.

- I inläsningsdelen (a:2) lösas de variabler in som finns speciellt markerade i programhuvudet (a:1). Inlästa värden skrives genast ut.

Beräkningsdel.

- I beräkningsdelen beräknas först sektionsflödet, FLH, sektionsyta, volym. Tiden = 0.
- L är en räknare som avgör hur många bassängutskrifter som skall skrivas ut på varje sida. Om $N > 8$ endast 2 st/utskriftssidor, annars 3 st.
- MI - variabeln ger variabelutskrift, ritar upp bassängprofilen.
- TS bestämmer när slamborttagningen sker.
- PLOTT = TID ger utskrift MPLLOTT avgör utskriftsintervall.
- Satserna 21 och 22. Uppstarten av programmet sker genom att alla SS-konc. sätts lika med S0. Dessutom SNY = S så att iteration är möjlig, eftersom det behövs jämförelsevärden vid iteration.

Stora loopen; 23 - 39

- Nya SS-koncentrationerna beräknas $S(TID+T)$. Genom anrop av SEDI erhålls flödeskomponenterna, som RK1ST använder vid uppintegrationen av massflödeskvationen.
- Totala SS-konc. adderas upp, eftersom den användes vid iteration av diffusionen.
- Härefter itereras värdena på SS-koncentrationerna för en hel kolonn, tills dess att två på varandra följande värden uppfyller iterationstesten ITEST.

- Om alla bassängens värden accepteras av ITEST, läggs SNY → S.

Utskrift.

- Om utskrift önskas som multipel av samplingsintervallet, kommer vi till sats 50. Här testas först om utskrift skall ske vid just denna tidpunkt, i så fall hoppa till sats 240, och återkopp sker till sats 60 där ny utskriftstid (PLOTT) bestämmes.
- Härefter testas i sats 70 om slamborttagning skall ske.
- I sats 71 - 90 utföres slamborttagning och den nya slamborttagningstiden TS, beräknas.
- Hoppa till sats 200.
- Till sats 150 kommer vi om utskrift önskas före, efter och mellan den momentana slamborttagningen.
- Om $TS_1 = TID$ sker utskrift, dvs. hoppa till sats 240.
- Är $TS = TID$ sker slamborttagning i satserna 161 - 170.
- Sats 200 testar om den maximala simuleringsstiden överskridits.
- Sista delen av programmet upptar satserna som bestämmer utseendet av utskriften. Är M, dvs. antalet kolonner större än 13, komprimeras utskriftsrutorna m.a.p. bredden för att kunna beredas plats.

SEDI.

- I SEDI bestämmes flödeskomponenterna genom att tester utföres på I- och J- värdena, detaljer se kap. 4.

FUNC.

- FUNC bestämmer utseendet på differentialekvationen, varvid behövliga tester utföres på flödestecknet.

STOKE.

- STOKE beräknar vertikala sjunkhastigheten. Se fig. 4.3.

6. Simuleringsar.

I kap. 6.1. bestämmes modellens slutgiltiga form och de ingående parametrarnas värden. Simuleringsar gjorda på öppna och slutna systemet redovisas i kap. 6.2. resp. 6.3.

En enkel processidentifiering görs i kap. 6.4. också. I detta kap. 6 kallas suspenderade ämneskoncentration för susphalt, *eller SS-konc.*

6.1. Parameterbestämningar.

Som vägledning för variabelbestämningar ligger uppgifter i referenser om utgående "susphalten" relativt ingående, artikel (17) med sifferuppgifter om suspenderade ämneskoncentrationen i en hel bassäng samt intuition.

Från början bestämdes i representativa värden på en del parametrar, såsom

bassänglängd, BL = 70 m

bassängdjup, BD = 4 m

bassängbredd, BB = 6m

ingående susphalt, SO = 300 mg/l, samt

ingående flöde QIN = 300 m³/TIM.

Alla dessa värden medför en uppehållstid omkring 4,5, tim.
Parametern SK sättes till 0.50.

En del körningar gjordes för att erhålla en bra bassängsindelning. N bestämdes till 6 och M till 9.

Nästa steg bestod i att se hur diffusionskonstanten påverkar modellen. Med utgångspunkt ifrån test 1,2,3 och 4 (Appendix C) valdes diffusionskonstanten till, D = 3.60 m²/TIM.

Dessutom om D vore 0.0 skulle det inte vara meningsfullt att styra utgående susphalten med slamborttagning.

I och med valet av D har vi också valt samplingstiden till högst T = 0,025 tim, eftersom kvoten $D \cdot T / (\Delta y)^2$ bör vara mindre än 0,25, enligt överläggningarna i kap. 4, 5. Det enda som återstår att bestämma är ett värde på slamborttagningsintervall. Ur test 5, 6 och 7 (Se Appendix C) samt resonemanget i kap. 4.9. valdes slamborttagningsintervallet till en gång per timme.

Modellen är alltså känslig för både valet av diffusionskonstant och slamborttagningsintervall.

simulering	störning	figur över		
		utgående SS-konc.	nivåkurvor	utskrifter
10		-QIN	B:1	B:2
11	steg	-SO(1)	B:3	B:4
12		QIN - SO(1)	B:3	-
13		-QIN	B:6	B:7
14	puls	-SO(1)	B:8	B:9
15		-QIN	B:10	B:11
16	sinus	-SO(1)	B:12	B:13
17		QIN -SO(1)	B:14	-

fig. 6.2. Simuleringar, figurer och diagram. B,C hänvisning till Appendix B och C.

6.2.1. Stegstörning.

Ur simulering 10, fig. B:1, syns att utgående "susphalten" ökar direkt, eller nästan, mot stegstörningen i inflödet. Stegstörning i QIN, innebär minskad uppehållstid.

Systemet m.a.p. inflödet verkar ganska trögt, med en stigtid $T_Q \approx 1.5$ tim. Det förefaller att vara ett 1:a eller 2:a ordningens system. De streckade linjerna visar stegets inverkan på "susphalten" i femte bassängkolonnen. Svängningarna i dessa stegsvar beror på slamborttagning. Dessa svängningar syns ej, eller endast obetydligt, i de två översta sektionerna. I fig. B:2 konstateras att framför allt de översta nivålinjerna lyfts upp.

Stegstörning i inkommande "susphalt", simulering 11, B:3, B:4, ger en något annorlunda bild av systemet m.a.p. SO(1). Systemet har en tidsfördröjning $T_F \approx 3.0$ tim och en stigtid $T_{SO} = 2.5$ tim, dvs. något trögare än vid ändring av QIN.

Även här verkar ett 1:a eller 2:a ordningssystem att fungera men med tidsfördröjning också. Angående de streckade linjerna, se simulering 10. Eftersom det blir svängningar i susphalten för de inre och undre sektionerna p.g.a. slamborttagning i bassängen, kommer inte några styrningar att göras därifrån. Nivåkurvorna, B:4, lyfts upp betydligt, och stora koncentrationer i bassängens understa sektioner erhålls.

Stegstörning med $SO(1)$ verkar att påverka utgående susphalten mer än QIN.

Vid simulering 12, fig. B:5, har pålagts både en stegstörning i $SO(1)$ och QIN samtidigt. I jämförelse med föregående två simuleringar syns att det har helt annat stegsvar och alltså inte är linjärt. Superpositionsprincipen gäller ej.

6.2.2. Pulsstörning.

Simulering 13, fig. B:6 och B:7, ger ett snabbt svar då en puls av QIN pålägges.

Positiva flanken på pulsen verkar att ge ett impulssvar från ett system av 2:a ordningen, medan modellen uppfattar negativa flanken som ett negativt steg med avklingningstid \approx stigtid. Där förefaller det alltså acceptabelt med en 1:a ordningens överföringsfunktion. Nivåkurvan, B:7, visar att pulsen slår igenom kraftigt på susphalten i bassängen.

Simulering 14, fig. B:8 och B:9. Här har vi ett mycket mjukare pulssvar än i simulering 13. Diskussionen om positiva, negativa flanken, avklingningstid och överföringsfunktion, se ovan simulering 13. I fig. B:9 ser vi att modellen inte är lika känslig för pulser i ingående susphalt, $SO(1)$, som i ingående vätskeflöde, QIN.

6.2.3. Sinusstörning.

Dygnsvariationerna av QIN, $SO(1)$ och $SS(1,M)$ kan approximeras till tre sinuskurvor, se fig. 2.1. Därför pålägges QIN och $SO(1)$ som sinusstörningar.

I simulering 15, fig. B:10 och B:11, ses att utgående susphalten minskar direkt, alltså ingen tidsfördröjning. Maximum och minimum i $SO(1)$ inträffar efter c:a 3 tim (motsv. $\frac{\pi}{4}$ fasförskjutning) resp. 5 tim (motsv. $0.4 \cdot \pi$) efter max och min i QIN. Med hänsyn till den i simulering 10 angivna stigtiden är fasförskjutningen för stor. Den beräknas till omkring $\pi/8$ (motsv. 1,5 tim) om 1:a ordningens system enligt ekv. (45) antas gälla. Nivåkurvorna, fig. B:11, uppvisar stor följsamhet i hela bassängen mot sinusstörningarna.

Svaret till sinusstörningen: S0(1), simulering 16, fig. B:13 ger en liknande bild som vid stegsvarssimuleringen. Jfr. simulering 10 och 11.

Det är dels tidsfördröjning dels verkar systemet m.a.p. S0(1) trögare än systemet m.a.p. QIN. Maximum och minimum i SS(1,N) inträffar c:a 7 tim (motsv. $0.6 \cdot \pi$) efter max och min i S0(1). Stigtiden och tidsförskjutningen, som är angiven i simulering 11, borde ge en tidsförskjutning på knappt 5,5 tim (motsv. $0.5 \cdot \pi$). Liksom i simulering 15 har vi en större fasförskjutning än modellen i kap. 5.2.4. ger i nivåkurvornas utseende, fig. B:13, har stor likhet med de i simulering 15.

I simulering 17, fig. B:14, pålägges sinusstörningar i både ingående vätskeflöde och ingående suspphalt samtidigt. Framför allt storleken av QIN avgör tidsförskjutningen i sinussvaret, se fig. B:14. Liksom i simulering 12 kan vi dra slutsatsen att systemet inte är linjärt.

6.3. Reglering av utgående suspenderade ämneskonz. med slamborttagning.

Liknande simuleringar som gjorts på öppna systemet, göres nu på det återkopplade slutna systemet, i avsikt att förbättra utgående konc. då systemet påföres störningar. Den enda möjligheten som står till buds, är att reglera slamborttagningsintervallet, inom vissa gränser. Se diskussionen i 4.4.

Reglering utföres m.a.p. utgående SS-konc. samt inkommande vätskeflöde och SS-konc. Några regleringar grundade på slambazonen eller inre sektioner i bassängen har ej gjorts p.g.a. svårigheter att finna en lämplig mätvariabel, eftersom slamborttagningen ger upphov till svängningar. Se fig. B:1 och B:3.

6.3.1. Stegstörning.

I simulering 18, fig. B:16 pålägges samma stegförning som i simulering 10. Samtidigt med att störningen pålägges, minskas slamborttagningsintervallet från en hel till en halv timme, dvs. inkommande flöde reglerar systemet, P-reglering.

Minskningen i utgående suspphalt uppgår till 25%.

Simulering 19, fig. B:17. Reglering utföres på utgående susphalten. Om $SS(1,N) > 110 \text{ mg/l}$ minskar vi slamborttagnings-

intervallet till 1 ggr i halvtimmen. Med reglering fås 50% minskning av stegstörningens påverkan av utgående susphalt. Effektivast med ökad slamborttagning då vi har stegstörning i ingående susphalt.

6.3.2. Pulsstörning.

I simulering 20, fig. B:18, kan pulsen i QIN starta regleringen, dvs. öka slamborttagningen. Sedan "finregleras" med utkoncentrationen, SS(1,M). Här existerar en form av framkoppling och återkoppling. Från simulering 20 ses att det inte är möjligt att få bort topparna på utgående susphalten genom ökad slamborttagning medan ändå totala mängden smuts minskas i utloppet. Det är ju klart eftersom det dröjer ett tag innan den ökade slamborttagningen märks på utloppet. Men den tiden är större än stigtiden för pulsen.

Däremot i simulering 21, fig. B:19 reglerar vi endast på SS(1,M) eftersom det finns en tidsfördröjning i systemet, vars beroende av QIN inte är helt känt.

Eftersom pulssvaret här är mer flackt än i simulering 20, hinner den ökade slamborttagningen slå igenom ordentligt och uppnår dels mindre totalmängd smuts i utloppet dels mindre susphalt. Även här verkar det alltså effektivare med ökad slamborttagning än i föregående simulering. Möjligheten att ha framkoppling finns även här men då måste man bättre känna till tidsfördröjningen.

6.3.3. Sinusstörning.

I simulering 22, fig. B:20, har det pålagt sinusstörningar i både SO(1) och QIN samtidigt, och regleringen består även nu i att minska slamborttagningsintervallet.

Här också är slamborttagningen en reglernöjlighet.

6.4. Insignal - utsignal samband.

Anta att modellen är linjär av 1:a ordningen, och superpositionsprincipen gäller enligt

$$Y_{su}(s) = G_Q(s) U_Q(s) + G_{SO}(s) U_{SO}(s) \quad (40)$$

där:

G_Q = systemets överföringsfunktion för ingående vätskeflödet, QIN.

G_{SO} = systemets överföringsfunktion för ingående "susphalt", SO(1).

U_Q = ingående vätskeflöde, QIN.

U_{SO} = ingående "susphalt", SO(1).

Y_{SU} = utgående "susphalt", SS(1,M).

Från simulerings 10 ($U_{SS} = 0$) och simulerings 11 ($U_Q = 0$) görs en identifikation av överföringsfunktionerna, där

$$G_Q(s) = k_Q \cdot \frac{1}{sT_Q + 1} \quad (41)$$

$$(41) \Rightarrow h_Q(t) = k_Q (1 - e^{-t/T_Q}) \quad (42)$$

$$G_{SO}(s) = k_{SO} \cdot \frac{e^{-s \cdot T_F}}{s \cdot T_{SO} + 1} \quad (43)$$

$$(43) \Rightarrow h_{SO}(t) = k_{SO} (1 - e^{-(t-T_F)/T_{SO}}) \quad (44)$$

Identifiering ger \mathbf{j}

$T_Q = 1,5$ tim
$T_{SO} = 2,5$ tim
$T_F = 3,0 \sim 2,5$ tim
$k_Q = 0,2$ (mg/l) tim/m ³
$k_{SO} = 0,4$

Vid nollnivån gäller; QIN = 300 m³/tim
 $SO(1) = 300$ mg/l
 $SS(1,M) = 10^4$ mg/l

Med insatta värden blir (40),

$$Y_{SU} = \frac{0,2}{s \cdot 1,5 + 1} \cdot U_Q + \frac{0,4 \cdot e^{-3,0 \cdot s}}{s \cdot 2,5 + 1} \cdot U_{SO} \quad (45)$$

En jämförelse med simuleringsarna 10-12, 13-14 och 15-17, ger att,

- a) behövs minst 2:a ordningens system.
- b) superpositionsprincipen gäller ej, dvs. ej linjära system.

7. Summareringar.

I denna rapport har uppställdts en matematisk modell, som beskriver det dynamiska beteendet av suspenderade ämneskoncentrationen som funktion av både tid och rum. Målsättningen har varit att med denna dynamiska modell tillsammans med valda parametrar ge en representativ beskrivning av en rektangulär primärsedimenteringsanläggning. Parametrarna är tagna ur litteraturen och anpassade så att en realistisk suspenderad ämneskoncentrationsprofil i bassängen erhålls, vid stationaritet.

7.1. Slutsatser.

Simuleringar på det öppna systemet har gjorts med pålagda puls, steg och sinusstörningar i inkommande flöde och inkommande suspenderade ämneskoncentration, för att analysera modellen.

Analysen gav att;

- Systemet är ej linjärt, superpositionsprincipen gäller ej.
- Som svar på störningar i ingående suspenderade ämneskoncentrationen beskrivs ^{utgående susp. ämneskonc,} som en tidsfördröjning av storleksordning 3 tim och ett andra ordningens system med en stor tidskonstant på drygt 2 tim.
- Som svar på störningar i ingående vätskeflöde kan utgående suspenderade ämneskoncentrationen beskrivas som ett andra ordningens system med en tidskonstant på drygt 2 tim.
- Tidskonstanter och förstärkning varierar med störningens amplitud och form.

Författarnas slutsats blir att den matematiska modellen fungerar tillfredsställande, men vidarutveckling av modellen behövs genom att:

- Införa fler partikelklasser, dvs. differentiera partiklarnas sjunkhastigheter.
- Ge diffusionskonstanten ett bättre verifierat värde, t.o.m. göra den rumsberoende.
- Bättre beskriva momentan slamborttagning och slamzonen.
- Skaffa realistiska mätvärden.

Regleringar har gjorts på systemet med avsikt att minska störningarnas inverkan på utgående suspenderade ämneskoncentrationen. Reglering sker genom ändring av slamborttagningsintervallet.

Syntesen gav att:

- Reglering effektivast då störningar i inkommande suspenderade ämneskoncentrationen.
- Svårt eliminera störningar i inkommande vätskeflöde.
- Både fram- och återkoppling kan behövas vid reglering av primärsedimenteringsbassäng, exempelvis mät inkommande suspenderade ämneskoncentrationen och/eller inkommande vätskeflöde och utgående suspenderade ämneskoncentrationen.

En annan reglermöjlighet vore att tillsätta kemikalier i primärsedimenteringsbassängen för att därigenom öka flockningsgraden hos partiklarna dvs. öka sjunkhastigheten. Detta innebär att utgående vattnet blir mindre förorenat med suspenderade ämnen. Just för vätskeflödesvariationer verkar denna regelmöjlighet speciellt förhoppningsfull.

7.2. Modellutvidgningar och råd.

Förutom de i §.1. omnämnda modellutvidgningarna av det öppna systemet finns det en mängd olika saker att vidarestudera;

- Göra en modell för hur kemikaliets tillställning i primärsedimenteringsbassängen inverkar på partiklarnas sjunkhastighet.
- Bättre systemidentifieringar av primärsedimenteringen för att därigenom kunna verifiera modellen och pröva bättre regleralgoritmer på dator.
- Nya effektivare regleralgoritmer, genom att pröva andra återkopplingar.

Sist men inte minst vill författarna ännu en gång poängtala det viktiga i att skaffa fram mer och bättre mätdata för att bättre kunna förstå primärsedimenteringsprocessen och därigenom konstatera en mera realistisk modell.

Referenser.

Böcker: (om reningsverk)

1. Eckenfelder, W.W. Jr (1966) Industrial Water Pollution Control, McGraw-Hill, 1966.
2. Metcalf-Eddy Inc. (1972) Wastewater Engineering, McGraw-Hill.
3. Olsson, G. m.fl. (1972) Control Problems in Wastewater Treatment Plants.

Böcker: (matematiska)

4. Bengtsson, B.E. Ekman, T. (1970) Numerisk Analys allmän kurs, LTH.
5. Numerisk Analys fortsättningskurs, LTH.
6. Nagel, B. (1966) Partiella Differentialekvationer.

Artiklar:

11. Argaman, Y. Kaufman, W.J. (1970) Turbulence and Flocculation. Journal of the Sanitary Engineering Division. ASCE.
12. Bryant, J.O. Jr. Wilcox, L.C. (1972) Real - time Simulation of the Conventional Activated Sludge Process. Paper Joint Automatic Control Conf. P 701 - 716.
13. Bryant, O.B. Jr., Wilcox, L.C., Andrews, J.F. (ej publ.) Wastwater Treatment Plants. Technical Report, Clemson Univ. Clemson, South Carolina.

14. Degrémout, D (1973), Bailey Bros, England.
Water Treatment Handbook.
15. Dobbins, W.E, Effect of Turbulence zon. Sedimentation
American soiety of civil engineers.
16. Hultman, B, (1972) Gravitationsförtjockning. 8:e nordiska
symposiet om vattenforskning.
17. March, R.P; Haurlin, M.J. (1966) An investigation into
the Performance of a Full-scale Sedimentation Tank.
18. McLaughlin, R.T. Jr. (1959) The Settling Properties of
suspensions. Journal of the Hydroulies Division. American
Soc. of Civil Engineers.
19. Schainker, R.B; Wells, C.H. (1970) Dynamic Modeling and
Control of Suspended Solids in Clarifiers.
Paper Joint Automatic Control Conf.P 192-200.
20. Gothardsson, S. LTH institutionen för Vattenbyggnad.
Personlig korrespondens.

KONT-EKV

Q1

PRIMÄR SEDIMENTERING.

FÖRFATTARE ROLAND LARSSON OCH GÖRAN SCHRODER.
EXAMENSARBETE VAREN OCH SOMMAREN 1974.

PROGRAM FOR BERÄKNING AV SUSPENDED SOLIDS KONCENTRATIONEN (SS)
I PRIMÄR SEDIMENTERINGS BASSÄNG, MED DYNAMISK MODELL, ENLIGT KAPS
MASSFLÖDESEKVIATIONEN I KAP.5.

DIFF-EKVATION LÖSES MED RUNGE-KUTTA ETT-STEGS METOD(RK1ST).

NÖDVÄNDIGA SUBRUTINER

RK1ST (FRÅN PROGRAMBILJOTEKET)
SEDI
FUNC.

NÖDVÄNDIG EXTERN FUNKTION

STOKE.

RK1ST INTEGRERAR UPP DIFFERANSEKVIATIONEN SOM LIGGER I FUNC.
SEDI RÄKNAR UT FLÖDESKOMPONENTERNA I DIFFERANSEKVIATIONERNA.
KONT-EKV. LÄSER IN PARAMETRAR, BERÄKNAR SS-VÄRDEN, SKRIVER UT ETC.

BETECKNINGAR.

* -DETTA TECKEN MEDFÖR ATT VARIABELN SKALL INLÄSAS.

S(I,J,K) -SS I SEKTION I,J AV PARTIKELKLASS K, VID TID, (MG/L).

SO(K) *-SS I INSLÄPPNINGSZONEN AV PARTIKELKLASS K.

SS(I,J) -TOTAL SS I EN SEKTION I,J,D,V,S SUMMERAT ÖVER ALLA PART.KL.

SNY -S(TID+T),D,V,S NYA VÄRDEN SOM FAS EFTER EN ITERATION.

SOLD(I,J,K) -S(TID+T),GAMLA SS-VÄRDEN LÄGGS UNDAN VID ITERATION.

TID -AKTUELL TID, (TIM).

T *-SAMPLINGSINTERVALL.

TIDMAX **PROGRAMMET AVBRYTES NÄR TID=TIDMAX.

N,M **MAX I,J BASSÄNG SEKTIONS INDELNING.

P *-ANTAL PARTIKELKLASSER.

VI HAR ANTAGIT ATT N=10,M=15,P=5 MAXIMALT, SE DEKLARATIONERNA.

QIN **INFLÖDE, (M³/TIM).

BL,BB,BD *-SEDIMENTERINGSBASSÄNGENS LÄNGD,BREDD,DJUP.

A,V -EN SEKTIONS HORISONTTELLA YTA RESP. VOLYM.

FLH -HORISONTLETT VATSKEFLODE, (M³/TIM).

SK **PROCENT PARTIKLAR SOM INTE SEDIMENTERAR I SEKTION N-1,M.

TS -SLAMBORTTAGNING VID TID=TS.

NINT **MULTIPEL AV SAMPLINGSINTERVALLET.

TS1 -GER UTSKRIFT EN GÅNG MELLAN VARJE MOMENTAN SLAMBORTTAGNING.

MPLOTT=0 **MEDFÖR UTSKRIFT FÖRE,EFTER OCH MELLAN SLAMBORTTAGNING.

MPLOTT>0 *-MEDFÖR UTSKRIFT SOM MULTIPEL AV SAMPLINGS INTERVALLET T.

HOPP -AVGOR ATERHOPPSADRESS, SE SLUTET AV PROGRAMMET.

L -RÄKNARE, SIDFRAMMATARE.

ITER -ITERATIONSRAKNARE.

ITEST -TESTVARIABEL I ITERATIONEN.

D(K) **TURBULENT DIFFUSIONS KONSTANT I FUNC, (M²/TIM).

STEP -DIFFUSIONSTERMENS STEGLÄNGD, ANVÄNDES IFUNC.

DT -DETENTION TIME, UPPEHALLSTID, ANVÄNDES I STOKE.

KONT-EKV.

a : 2

```
DIMENSION SINF(5),SE(5),SNY(10,15,5),SOLD(10,15,5)
INTEGER E,P,SIN,SS,SO,HOPP,SNY,SOLD,R
REAL FLOW
COMMON /AREA1/I,J,K,N,M,P,SIN(5),S(10,15,5),D(5),STEP,T
COMMON /AREA2/ FLOW(4,5),SS(10,15),SO(5)
DATA SORT1/6HM3/TIM/,SORT2/4HM6/L/,SORT3/6HM2/TIM/
DATA T1/6H----/,T2/3H---/,T3/3H--I/,T4/1H-/ ,T5/1H1/
EXTERNAL FUNC
```

C
C
C
C

INLÄSNINGSDEL.

```
READ(5,5) MPLOTT
5 FORMAT( )
READ (5,6) TIDMAX
6 FORMAT ( )
READ (5,7) N,M,P,T
7 FORMAT (212,I1,F5.3)
READ(5,8) (D(K),K=1,P)
8 FORMAT ( )
READ (5,11) QIN,SK,BL,BB,BD
11 FORMAT (F5.0,1X,F4.2,3(1X,F4.1))
READ (5,12) (SO(K), K=1,P)
12 FORMAT (5I4)
READ(5,13) NINT
13 FORMAT ( )
PRINT 14,N,M,P,QIN,SORT1,SK,BL,BB,BD,T
14 FORMAT (1H0,9X,2HN=,I3/10X,2HM=,I3,/10X,2HP=,I3//,
*10X,4HQIN=,F5.0,1XA6/10X,3HSK=,F5.2/
*10X,3HBL=,F5.1,2H M/10X,3HBB=,F5.1,2H M/10X,3HBD=,F5.1,2H M/
*10X,2HT=,F6.3,4H TIM)
DO 16 K=1,P
PRINT 15,D(K),SORT3
15 FORMAT (10X,5HD(K)=,(F4.2,1X,A6))
16 PRINT 17,SO(K),SORT2
17 FORMAT (10X,6HSO(K)=,(I4,1X,A4))
PRINT 18,NINT
18 FORMAT (10X,5HNINT=,I3)
PRINT 19,MPLOTT
19 FORMAT (10X,7HMPLOTT=,I3)
PRINT 20,TIDMAX
20 FORMAT (10X,7HTIDMAX=,F5.1,4H TIM)
```

C
C
C
C

BERÄKNINGSDEL.

```
FLH=QIN/(N-1)
TID=0
A=BL*BB/(M-1)
V=A*BD/N
STEP=BD/N
L=3
IF (N.GE.8) L=2
LA=L
MI=M-1
TS=NINT*T
TS1=TS
PLOTT=MPLOTT*T+9.50
DO 21 I=1,N
DO 21 J=2,M
DO 21 K=1,P
21 S(I,J,K)=SO(K)
```

KONT-EKV

a:3

```
DO 22 I=1,N
DO 22 J=2,M
SS(I,J)=0
DO 22 K=1,P
SNY(I,J,K)=S(I,J,K)
22 SS(I,J)=SS(I,J)+S(I,J,K)
HOPP=4
GO TO 240
C
C
C HÄR BÖRJAR STORA LOOPEN.
C
C HAR LÄGGS STÖRNINGARNA IN I PROGRAMMET, VID SIMULERINGARNA.
C
C
23 TID=TID+T
DO 38 J=2,M
DT=(J-1+0.5)*V/FLH
ITER=0
DO 30 I=1,N
DO 25 K=1,P
CALL SEDI (FLH,A,V,SK,DT)
SIN(K)=S(I,J,K)
SINF(K)=FLOAT(SIN(K))
25 CONTINUE
CALL RK1ST (TID,SINF,T,SE,P,FUNC)
SS(I,J)=0
DO 27 K=1,P
SOLD(I,J,K)=SNY(I,J,K)
SNY(I,J,K)=SE(K)
SS(I,J)=SS(I,J)+SNY(I,J,K)
27 CONTINUE
30 CONTINUE
C
C INGEN DIFF-TERM DA J=M, ALLTSÅ ITERATION ONÖDIG.
C OCH DA D=0.0.
C
IF (J.EQ.M) GO TO 38
IF (D(1).LE.1.0E-6) GO TO 38
C
C ITERATION KOLONNVIS, OCH ITERATIONSTESTER.
C
31 ITER=ITER+1
IF (ITER.LE.9) GO TO 33
PRINT 32,TID,I,J
32 FORMAT (1UX,4HTID=,F5.2,10X,33HANTAL ITERATIONER ÄR STÖRRE ÄN 10,
*5X,2HI=,I2,5X,2HJ=,I2)
GO TO 38
33 DO 34 I=1,N
DO 34 K=1,P
R=SOLD(I,J,K)-SNY(I,J,K)
ITEST=IABS(R)
IF (ITEST.GT.2) GO TO 35
IF (I.EQ.N) GO TO 38
34 CONTINUE
35 DO 37 I=1,N
DO 36 K=1,P
CALL SEDI (FLH,A,V,SK,DT)
SIN(K)=S(I,J,K)
36 SINF(K)=FLOAT(SIN(K))
CALL RK1ST(TID,SINF,T,SE,P,FUNC)
SS(I,J)=0
DO 37 K=1,P
SOLD(I,J,K)=SNY(I,J,K)
SNY(I,J,K)=SE(K)
SS(I,J)=SS(I,J)+SNY(I,J,K)
```

KONT-EKV

4

37 CONTINUE

GO TO 31

38 CONTINUE

HÄR SLUTAR STORA LOOPEN

DE ACCEPTERADE VÄRDENA SNY LÄGGS I S.

DO 39 I=1,N

DO 39 J=2,M

DO 39 K=1,P

39 S(I,J,K)=SNY(I,J,K)

UTSKRIFTSDEL.

OM MPLOTT=0, MEDFÖR UTSKRIFT FÖRE, EFTER OCH MELLAN SLAMBORTTAGNING

OM MPLOTT>0, MEDFÖR UTSKRIFT SOM MULTIPEL AV SLAMINTERVALL

40 IF (MPLOTT=1) 150,50,50

UTSKRIFT SOM MULTIPEL AV SAMPLINGSINTERVALL

50 IF(PLOTT-TID.GT.0.5E-03) GO TO 70

HOPP=1

GO TO 240

60 PLOTT=MPLOTT*T+PLOTT

70 IF(TS-TID.GT.0.5E-03) GO TO 200

SLAMBORTTAGNING

DO 80 J=2,M

SS(N,J)=SS(N-1,J)

DO 80 K=1,P

80 S(N,J,K)=S(N-1,J,K)

PRINT 90

90 FORMAT (23X,25Hmomentan SLAMBORTTAGNING.)

TS=TS+NINT*T

GO TO 200

UTSKRIFT FÖRE, EFTER OCH MELLAN DEN MOMENTANA SLAMBORTTAGNINGEN

150 IF(TS1-TID.GT.0.5E-03) GO TO 200

TS1=TS1+NINT*T*0.5

HOPP=2

GO TO 240

160 IF(TS-TID.GT.0.5E-03) GO TO 200

SLAMBORTTAGNING

DO 170 J=2,M

SS(N,J)=SS(N-1,J)

DO 170 K=1,P

170 S(N,J,K)=S(N-1,J,K)

TS=TS+NINT*T

HOPP=3

GO TO 240

200 IF(TID.GT.TIDMAX) GO TO 420
GO TO 23

240 IF(M.GE.13) GO TO 340

UTSKRIFT OM M MINDRE AN 13

IF (L/LA*LA.NE.L) GO TO 252
PRINT 250

250 FORMAT (1H1)

252 IF (HOPP.NE.3) GO TO 260
PRINT 255

255 FORMAT (23X,25HMOMENTAN SLAMBORTTAGNING.)

260 PRINT 265

265 FORMAT(1H0//)

PRINT 270,TID,(T1,T2,E=1,MI)

270 FORMAT(10X,2HT=,F5.2,1X,3HTIM,2X,15(A6,A3))

DO 300 I=1,N

280 PRINT 290,(SS(I,J),J=2,M)

290 FORMAT (23X,1HI,15(I6,2X,1HI))

300 PRINT 310,(T1,T3,E=1,MI)

310 FORMAT (23X,1HI,15(A6,A3))

L=L+1

GO TO (60,160,200,23),HOPP

UTSKRIFT OM M STÖRRE AN 13

340 IF (L/LA*LA.NE.L) GO TO 352
PRINT 350

350 FORMAT (1H1)

352 IF (HOPP.NE.3) GO TO 360
PRINT 355

355 FORMAT (23X,25HMOMENTAN SLAMBORTTAGNING.)

360 PRINT 365

365 FORMAT (1H0//)

PRINT 370,TID,(T1,T4,E=1,MI)

370 FORMAT(10X,2HT=,F5.2,1X,3HTIM,2X,15(A6,A1))

DO 400 I=1,N

380 PRINT 390,(SS(I,J),J=2,M)

390 FORMAT (23X,1HI,15(I5,1X,1HI))

400 PRINT 410,(T1,T5,E=1,MI)

410 FORMAT (23X,1HI,15(A6,A1))

L=L+1

GO TO (60,160,200,23),HOPP

420 STOP

END

SUB-1 ; SEDI

SUBROUTINE SEDI (FLH,A,V,SK,DT)

C
C
C SUBRUTIN FÖR BERÄKNING AV MASSFLÖDEN FÖR VARJE SEKTION OCH
C VARJE PARTIKELKLASS, ENLIGT MASSFLÖDESEKVENTIONEN I KAP. 5.
C SEDI ANROPAR EXTERNA FUNKTIONEN STOKE, SOM BERÄKNAR VERTIKALA PART.HAST.

C
C VIN,VUT=VERTIKAL PARTIKEL HASTIGHET,(M/TIM).
C FHIN,FHUT=FLÖDE HORISONTELLT IN OCH UT UR EN SEKTION,(M3/TIM).
C
C

INTEGER P,SIN,S,SS,SO

COMMON /AREA1/I,J,K,N,M,P,SIN(5),S(10,15,5),D(5),STEP,T

COMMON /AREA2/ FLOW(4,5),SS(10,15),SO(5)

FHIN=FLH

FHUT=FLH

G=A/V

IF (J.EQ.M) GO TO 55

IF (I.EQ.1.AND.J.EQ.2) GO TO 40

IF (I.LT.N.AND.J.EQ.2) GO TO 50

IF (I.EQ.1) GO TO 20

IF (I.EQ.N) GO TO 30

10 VIN=STOKE (DT)

VUT=STOKE (DT)

GO TO 130

20 VIN=0

VUT=STOKE (DT)

GO TO 130

30 VUT=0

VIN=STOKE (DT)

FHUT=0

FHIN=0

GO TO 130

40 VIN=0

VUT=STOKE (DT)

S(I,J-1,K)=SO(K)

GO TO 130

50 VIN=STOKE (DT)

VUT=STOKE (DT)

S(I,J-1,K)=SO(K)

GO TO 130

54B-1; SEDZ

Q:7

C. C. SPECIELLT FLÖDESMÖNSTER FÖR J=M, UTSLÄPPNINGSZON.

55 IF(I.EQ.N) GO TO 60
IF (I.EQ.1) GO TO 100
IF (I.EQ.N-1) GO TO 70
IF (I.EQ.N-2) GO TO 80
GO TO 90

C. C. SK HÄNFOR SIG EJ TILL FLÖDET UTAN TILL SS. MEN FUNC ALLMÄNT SKRIVEN
C. C. DÄRFÖR MULT. FLÖDET MED SK.
C. C. VIN, VUT-BEROR AV VATSKEFLÖDET DÄ J=M.

60 VIN=(1.-SK)*FLH/A
VUT=0
FHIN=0
FHUT=0
GO TO 130
70 VIN=-(SK*FLH)/A
VUT=(1.-SK)*FLH/A
FHUT=0
GO TO 130
80 VIN=-(2*FLH)/A
VUT=-(SK*FLH)/A
FHUT=0
GO TO 130
90 VIN=-(FLH*(N-1))/A
VUT=-(FLH*(N-1-I))/A
FHUT=0
GO TO 130
100 VIN=0
FHUT=FLH*(N-1)
VUT=-(FLH*(N-2))/A
IF (N.GT.3) GO TO 130
IF (N.EQ.2) GO TO 110
VUT=VUT*SK
GO TO 130
110 FHUT=FHUT*SK
VUT=-(FLH/A)*(1.-SK)
GO TO 130

C. C. FLÖDES KOMPONENTerna I HUVUDEKVATIONEN.

130 FLOW(1,K)=FHIN/V

FLOW(2,K)=FHUT/V
FLOW(3,K)=VIN*G
FLOW(4,K)=VUT*G
RETURN
END

CC8.
FUNK-1; STOKE,

FUNCTION STOKE(DT)

STOKE ANROPAS IFRAN SUBRUTINEN SEDI.
STOKE RÄKNAR UT PARTIKELHAST. VERTIKALT ENLIGT DIAGRAM, SE TEXT.
I VILKEN SJUNKHASTIGHETEN ÄR EN FUNKTION AV UPPEHÄLLSTIDEN.

DT=DETENTION TIME, UPPEHÄLLSTID.

IF (DT.GT.1.85) GO TO 40
IF (DT.GT.1.5) GO TO 30
IF (DT.GT.1.0) GO TO 20

HAST.I OMRÄDE 1, ENLIGT DIAGRAM.

STOKE=0.54
GO TO 50

HAST.I OMRÄDE 2, ENLIGT DIAGRAM.

20 STOKE=0.86
GO TO 50

HAST.I OMRÄDE 3, ENLIGT DIAGRAM.

30 STOKE=1.80
GO TO 50

HAST.I OMRÄDE 4, ENLIGT DIAGRAM.

40 STOKE=2.40
50 RETURN
END

SUB-2, FUNC

SUBROUTINE FUNC

SUBRUTIN FOR UPPSTÄLLNING AV DIFF.EKV.(MASSFLÖDESEKV.) MED
PARAMETRAR IFRÅN SEDI.
ANROPAS IFRÅN RK15T.

D(K)=TURBULENT DIFFUSIONS KONSTANT.
STEP=DIFFUSIONSTERMENS DIFFERANSSTEGLÄNGD.
DIFFUSION FRÅN SLAMSKIKTET.

```
INTEGER P,SIN,S,SS,SO
DIMENSION W(10),Z(10)
COMMON /AREA1/I,J,K,N,M,P,SIN(5),S(10,15,5),D(5),STEP,T
COMMON /AREA2/ FLOW(4,5),SS(10,15),SO(5)
COMMON /FUNCT/ TE,W,Z
```

TEST FÖR ATT AVGÖRA OM I=1,N J=2,M-1 ELLER I=N J=M.
IF (FLOW(3,1).GE.0.0.AND.FLOW(4,1).GE.0) GO TO 10

TEST FÖR ATT AVGÖRA OM I=N-1 J=M.
IF (FLOW(3,1).LT.0.0.AND.FLOW(4,1).GE.0) GO TO 20

TEST FÖR ATT AVGÖRA OM I=1 J=M.
IF (FLOW(3,1).GE.0.0.AND.FLOW(4,1).LT.0) GO TO 30

OM 1<I<N-1 J=M GÄLLER DENNA EKVATION.

```
DO 5 L=1,P
5 Z(L) =S(I,J-1,L)*FLOW(1,L)+FLOW(3,L)*SIN(L)-
*SIN(L)*FLOW(2,L)-S(I+1,J,L)*FLOW(4,L)
GO TO 40
10 CONTINUE
IF (I.EQ.1) GO TO 14
IF (I.EQ.N) GO TO 18
DO 12 L=1,P
DIFF=D(L)*(SS(I-1,J)-2*SS(I,J)+SS(I+1,J))/(STEP**2)
12 Z(L) =S(I,J-1,L)*FLOW(1,L)+S(I-1,J,L)*FLOW(3,L)-SIN(L)*
*(FLOW(2,L)+FLOW(4,L))+DIFF
GO TO 40
14 DO 16 L=1,P
DIFF=D(L)*(SS(I+1,J)-SS(I,J))/(STEP**2)
16 Z(L) =S(I,J-1,L)*FLOW(1,L)+S(I-1,J,L)*FLOW(3,L)-SIN(L)*
*(FLOW(2,L)+FLOW(4,L))+DIFF
GO TO 40
18 IF (J.EQ.M) GO TO 30
DO 19 L=1,P
DIFF=D(L)*(SS(I-1,J)-SS(I,J))/(STEP**2)
19 Z(L) =S(I,J-1,L)*FLOW(1,L)+S(I-1,J,L)*FLOW(3,L)-SIN(L)*
*(FLOW(2,L)+FLOW(4,L))+DIFF
GO TO 40
20 DO 21 L=1,P
21 Z(L)=S(I,J-1,L)*FLOW(1,L)+SIN(L)*(FLOW(3,L)-FLOW(2,L)-FLOW(4,L))
GO TO 40
30 DO 31 L=1,P
31 Z(L)=S(I,J-1,L)*FLOW(1,L)+S(I-1,J,L)*FLOW(3,L)-SIN(L)*
*FLOW(2,L)-FLOW(4,L)*S(I+1,J,L)
40 RETURN
END
```

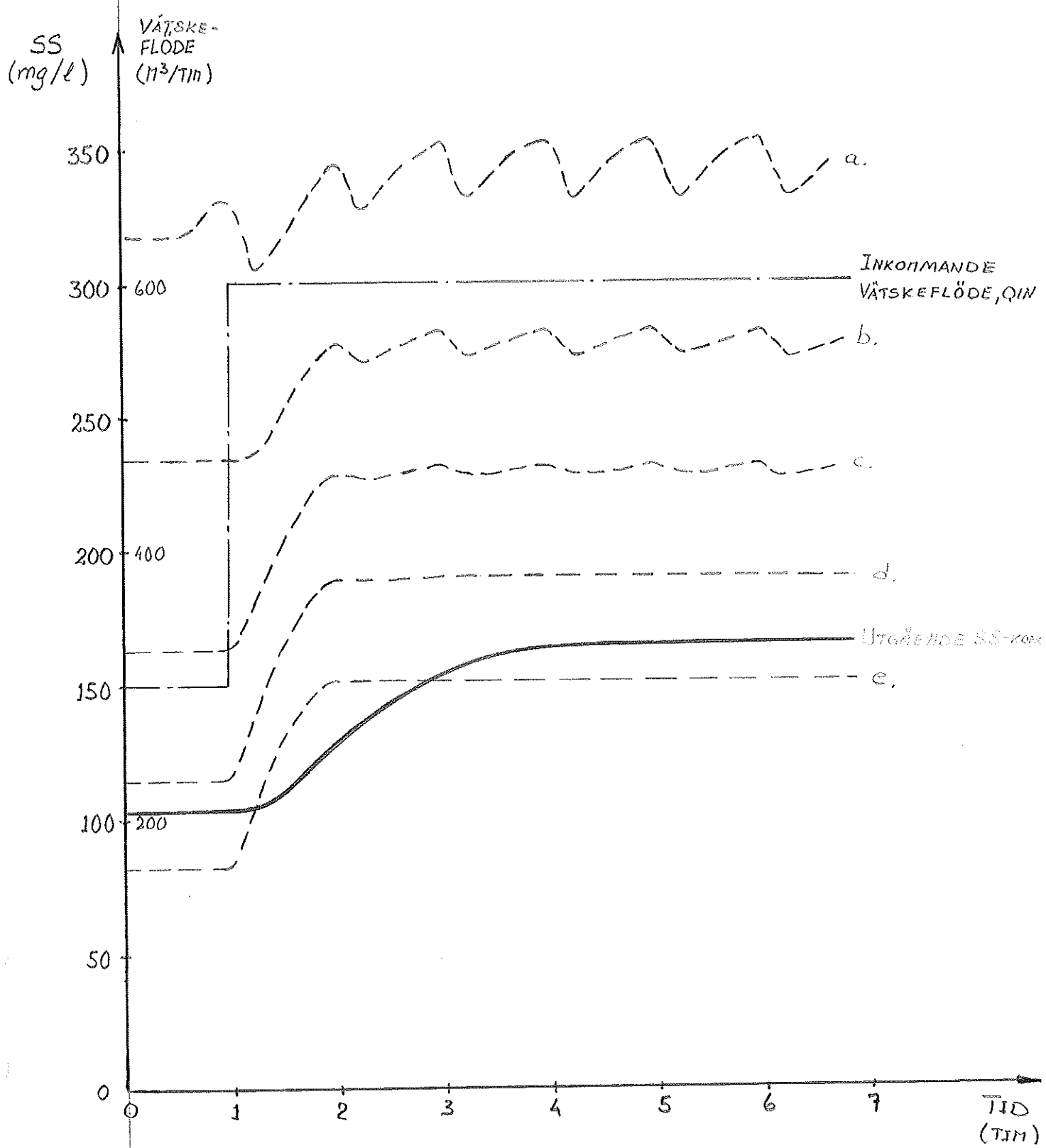


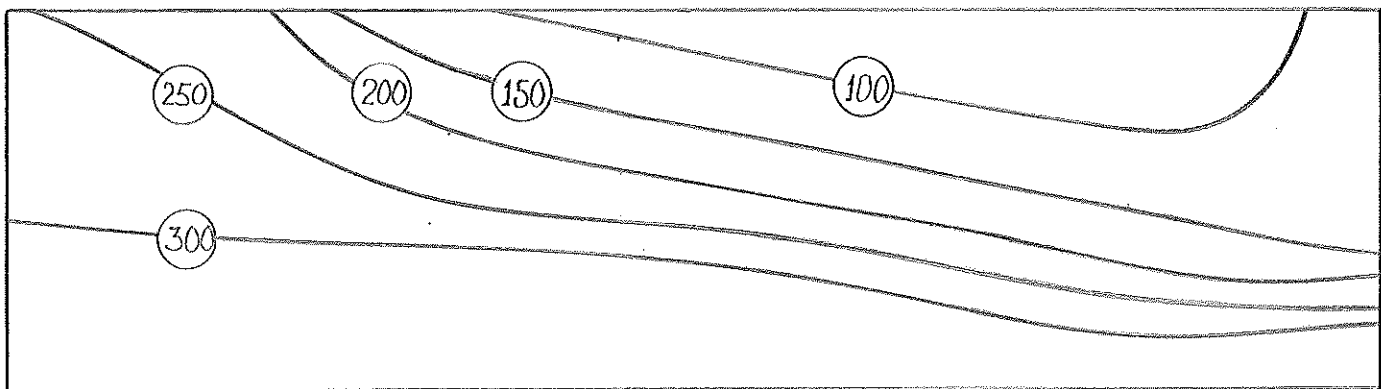
FIG. B:1 STEGSTÖDNING PÅ INKOMMANDE VÄTSKEFLÖDE, QIN.

INKOMMANDE SS-konc. ÄR KONSTANT, 300 MG/L.

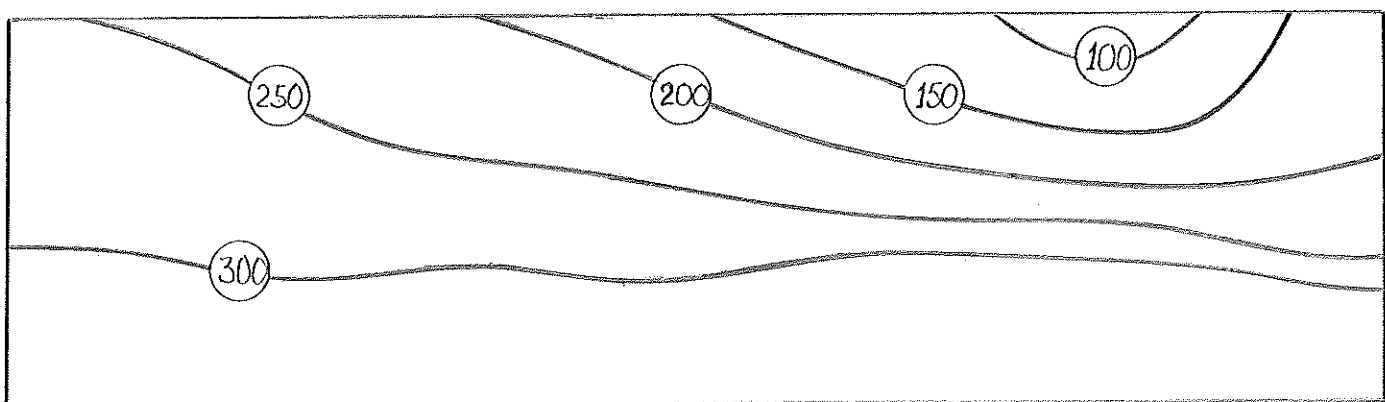
DE STRECKADE LINJERNA UTTAGDE SS-konc. I FERATE BÄSSÅNG-

KOLONNEN, DÄR a. ÄR NÄST LUNDASTA OCH e. ÖVERSTA RADEN.

FIG. B:2 NIVÅKURVOR FÖR STEGSTÖNING PÅ INKOMMANDE VÄTSKEFLÖDE, QIN,
300-600 M³/TH. INKOMMANDE SS-KONC. ÄR KONSTANT, 300 MG/L.



T = 1.0 TH



T = 6.0 TH

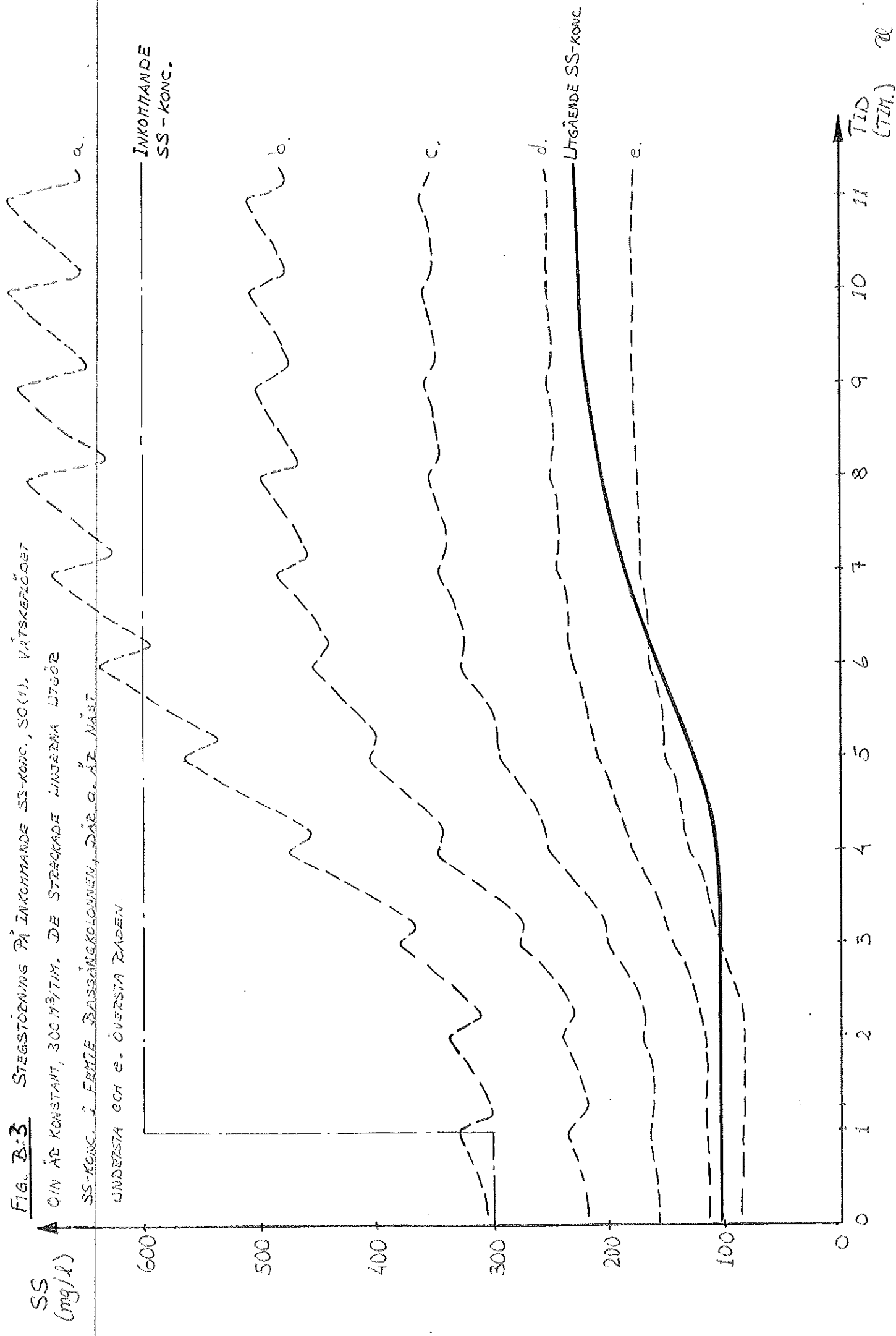
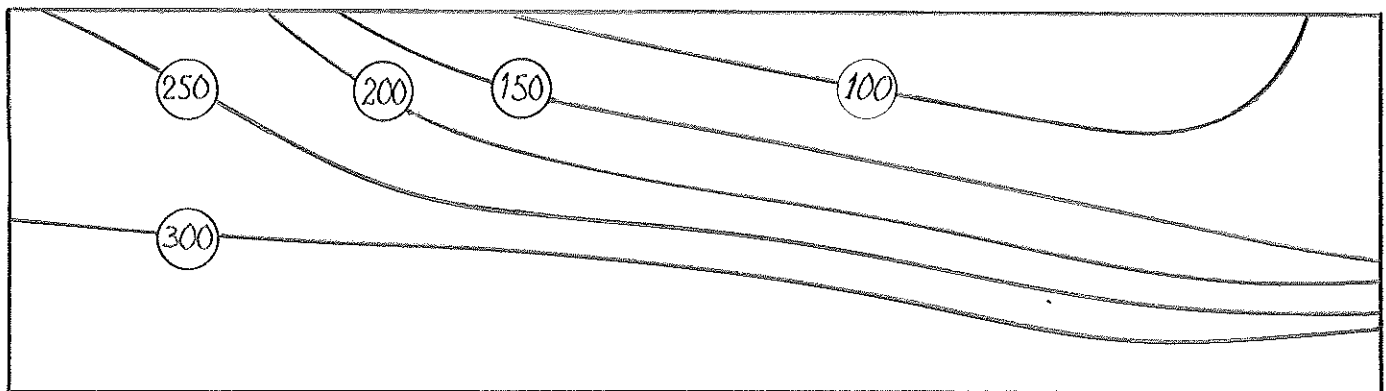


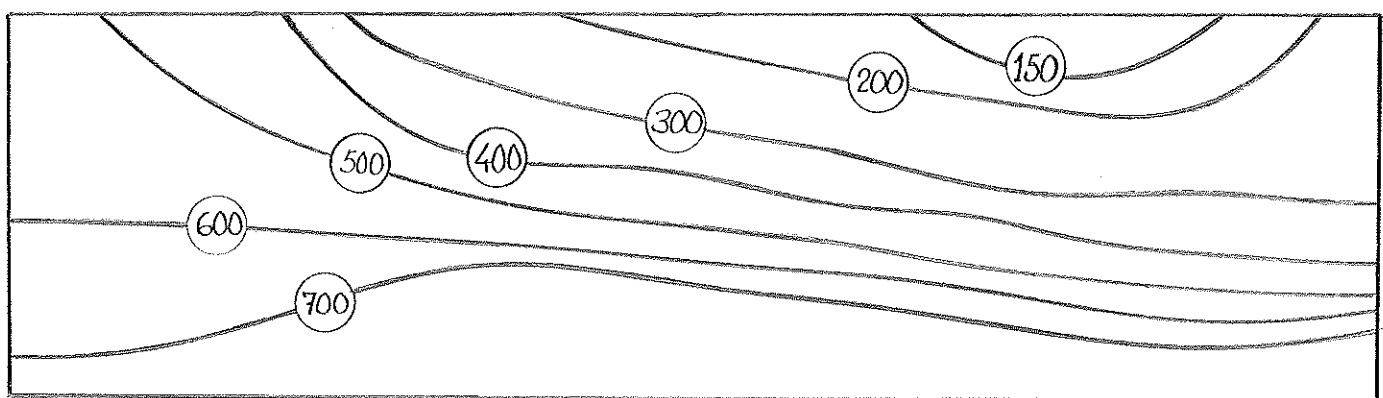
FIG. B:4

NIVÄNEVOR FÖR STEGSTÖRNING PÅ INKOMMANDE SS-KONE., SÖ(1), 300-600 M³/L.

VÄTSKEFLÖDET QIN ÅR KONSTANT, 300 M³/TIM.



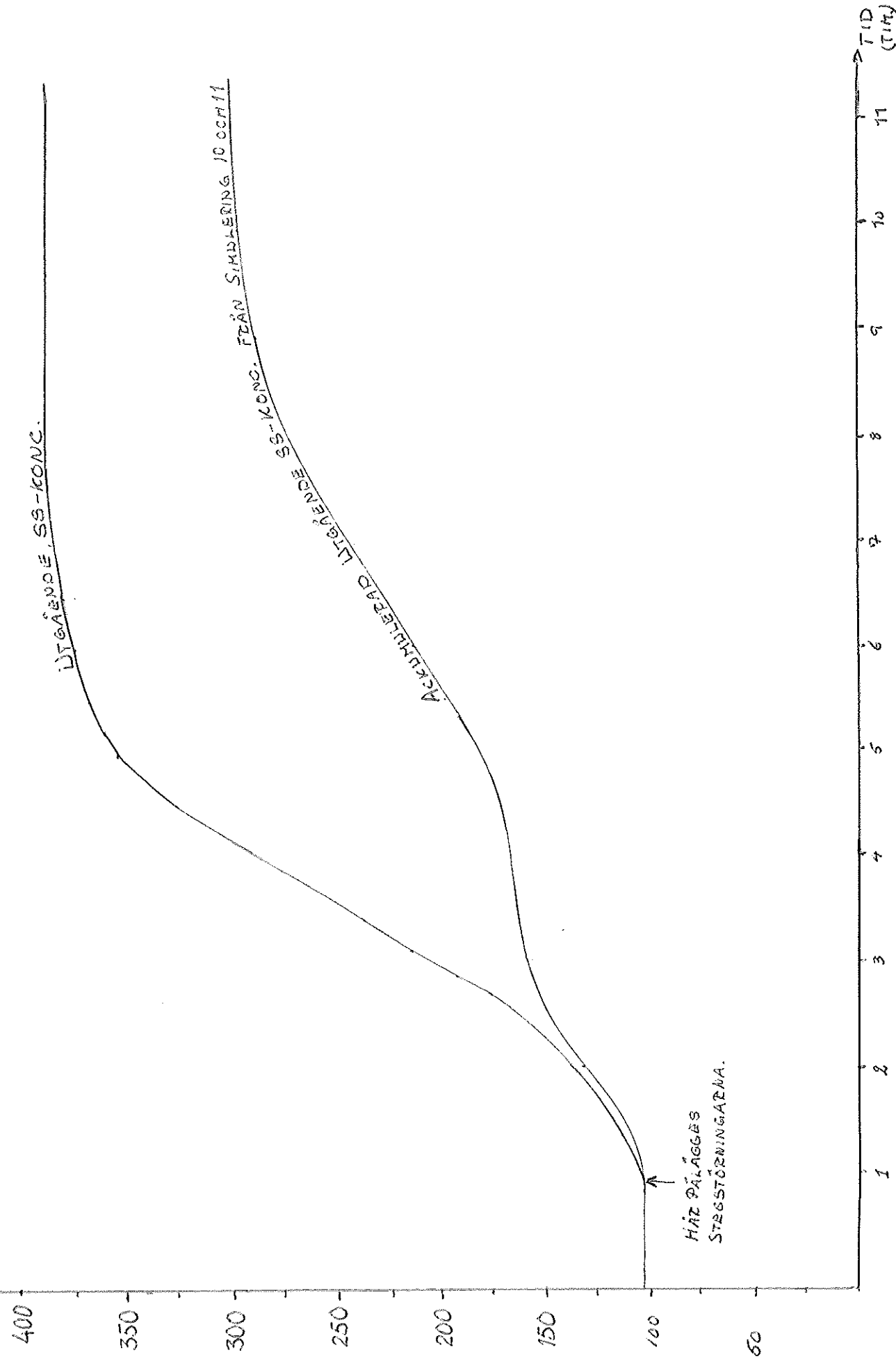
$$T = 1.0 \text{ TIM}$$



$$T = 11.0 \text{ TIM}$$

FIG. B:5 STEGSTÖRNING I OIN, 300-600 M³/TID, OCT I SO(1), 300-600 M³/L.

55
(mylk)



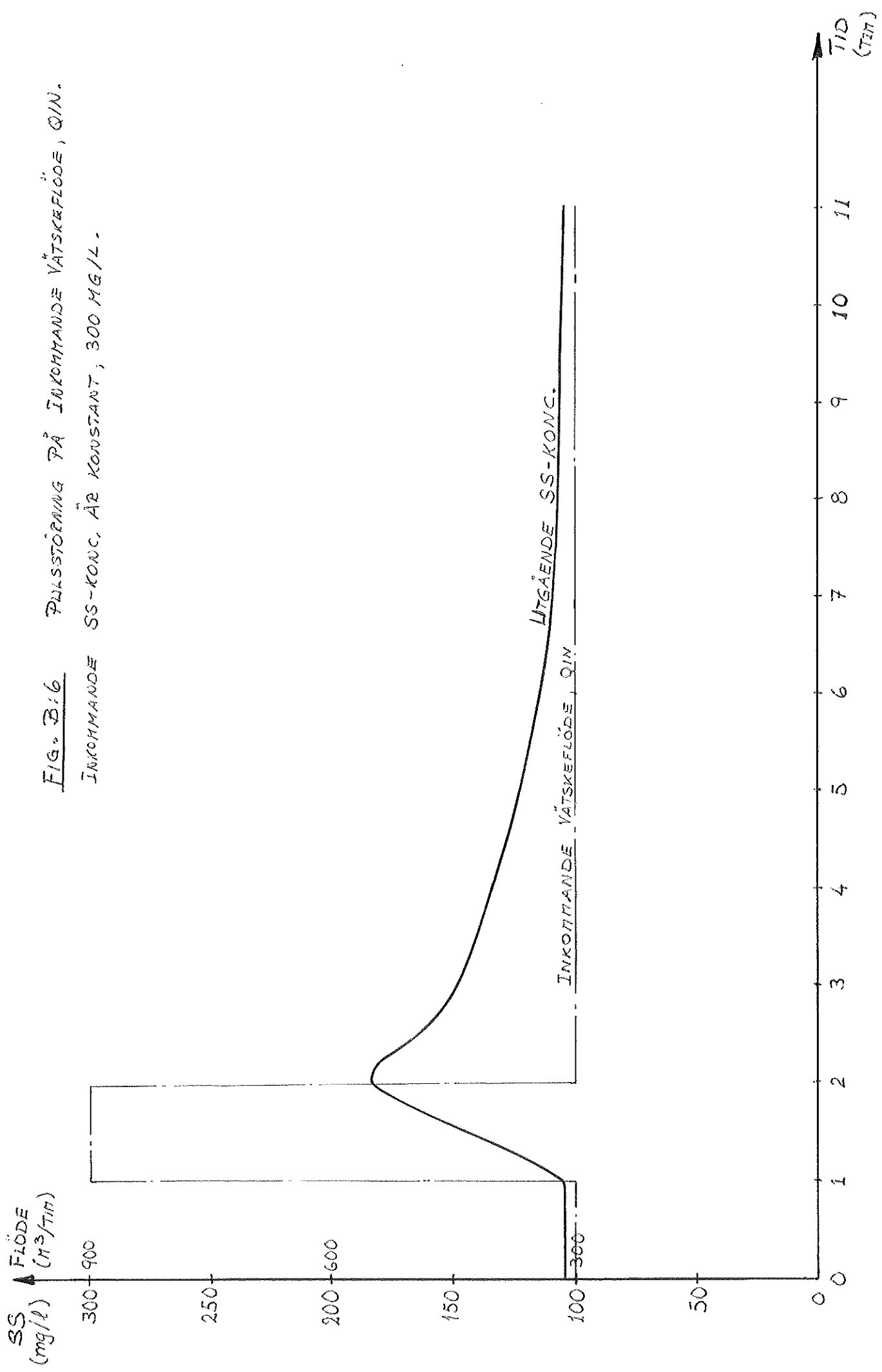
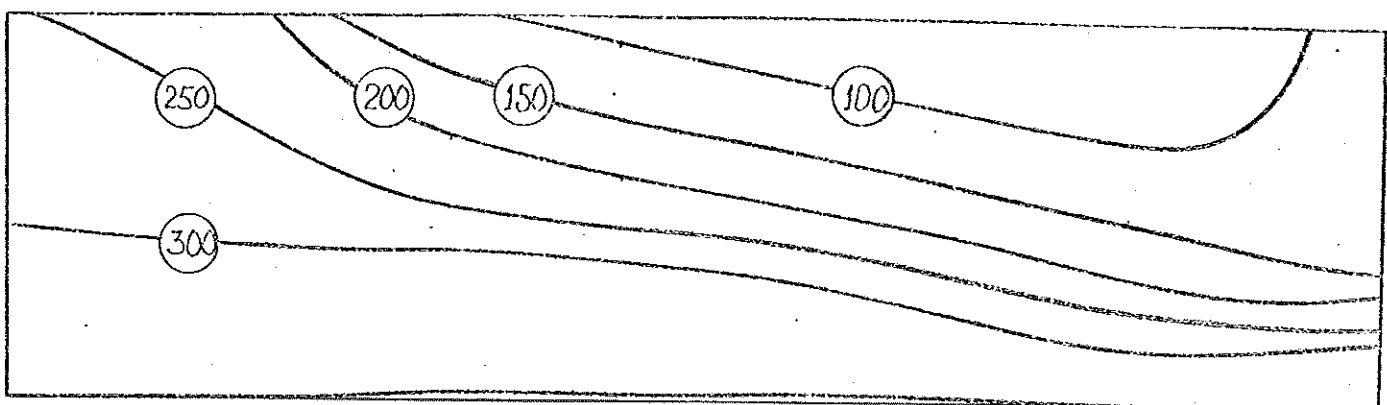
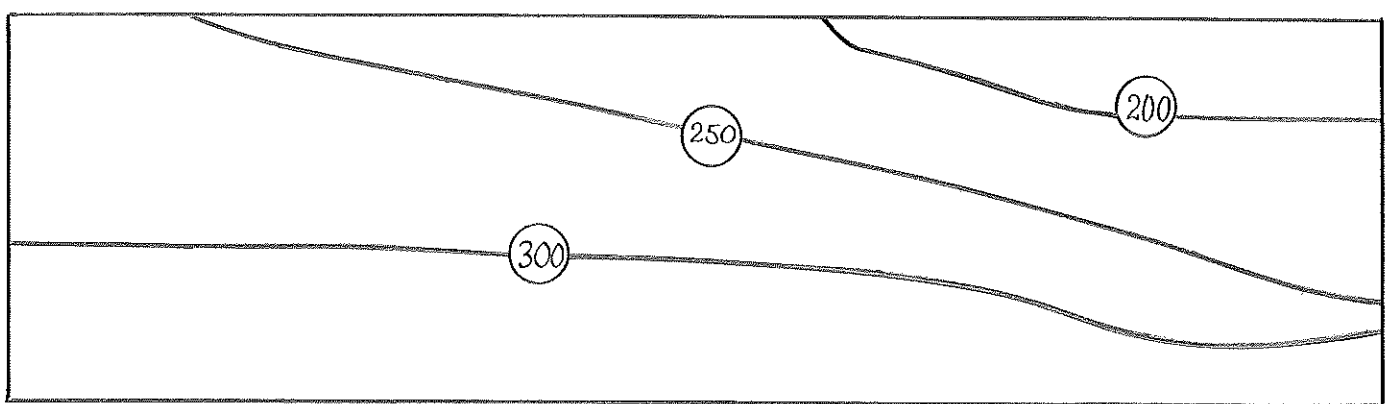


FIG. B:7 PULSSTÖRNING PÅ INKOMMENDE VÄTSKEFLÖDE, Q_{IN} .
INKOMMENDE SS-KONC. ÄR KONSTANT, 300 MG/L.
NIVÅKURVOR.



$T = 1,0 \text{ TIM}$



$T = 2,0 \text{ TIM}$

SS
(mg/l)

$SO(1)$
(mg/l)

300

250

200

150

100

50

0

FIG. B:8

PULSTÖRNING PÅ INKONTRADÉ SS-KONC., $SO(1)$.

JÄKKRANDE VÄTSKEFLÖDE ÄR KONSTANT, 300 ml/TIM.

1

2

3

4

5

6

7

8

9

10

11

12

13

14

15

16

17

18

19

20

21

22

23

24

25

26

27

28

29

30

31

32

33

34

35

36

37

38

39

40

41

42

43

44

45

46

47

48

49

50

51

52

53

54

55

56

57

58

59

60

61

62

63

64

65

66

67

68

69

70

71

72

73

74

75

76

77

78

79

80

81

82

83

84

85

86

87

88

89

90

91

92

93

94

95

96

97

98

99

100

101

102

103

104

105

106

107

108

109

110

111

112

113

114

115

116

117

118

119

120

121

122

123

124

125

126

127

128

129

130

131

132

133

134

135

136

137

138

139

140

141

142

143

144

145

146

147

148

149

150

151

152

153

154

155

156

157

158

159

160

161

162

163

164

165

166

167

168

169

170

171

172

173

174

175

176

177

178

179

180

181

182

183

184

185

186

187

188

189

190

191

192

193

194

195

196

197

198

199

200

201

202

203

204

205

206

207

208

209

210

211

212

213

214

215

216

217

218

219

220

221

222

223

224

225

226

227

228

229

230

231

232

233

234

235

236

237

238

239

240

241

242

243

244

245

246

247

248

249

250

251

252

253

254

255

256

257

258

259

260

261

262

263

264

265

266

267

268

269

270

271

272

273

274

275

276

277

278

279

280

281

282

283

284

285

286

287

288

289

290

291

292

293

294

295

296

297

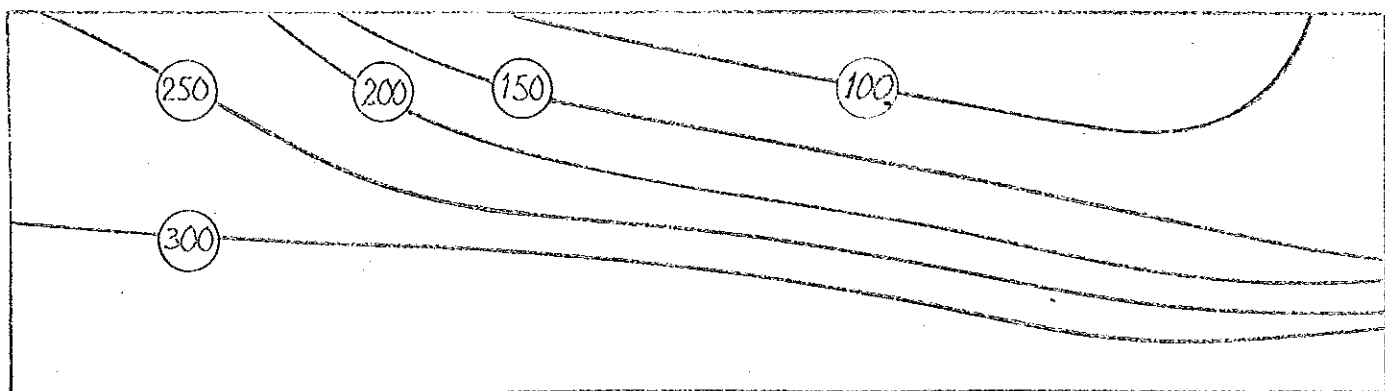
298

299

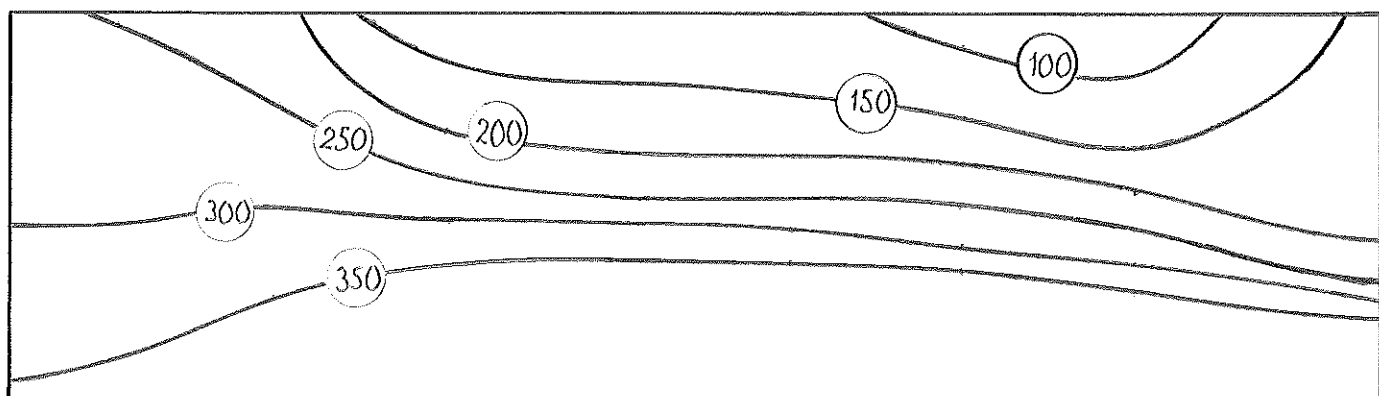
300

</

FIG. B:9 NIVÅKURVOR FÖR PULSSTÖRNING PÅ INKOMMANDE SS-KONC., SO(1),
INKOMMANDE VÄTSKEFLÖDE ÄR KONSTANT, 300 M³/TIM.



T = 1.0 TIM



T = 7.0 TIM

FIG. 3:10

SIMPONIEN PÅ INKONTANDE VÄTSKEFLÖDE, Q_{IN} -
INKONTANDE SS-KONG. ÅR KONSTANT, 300 mg/L.

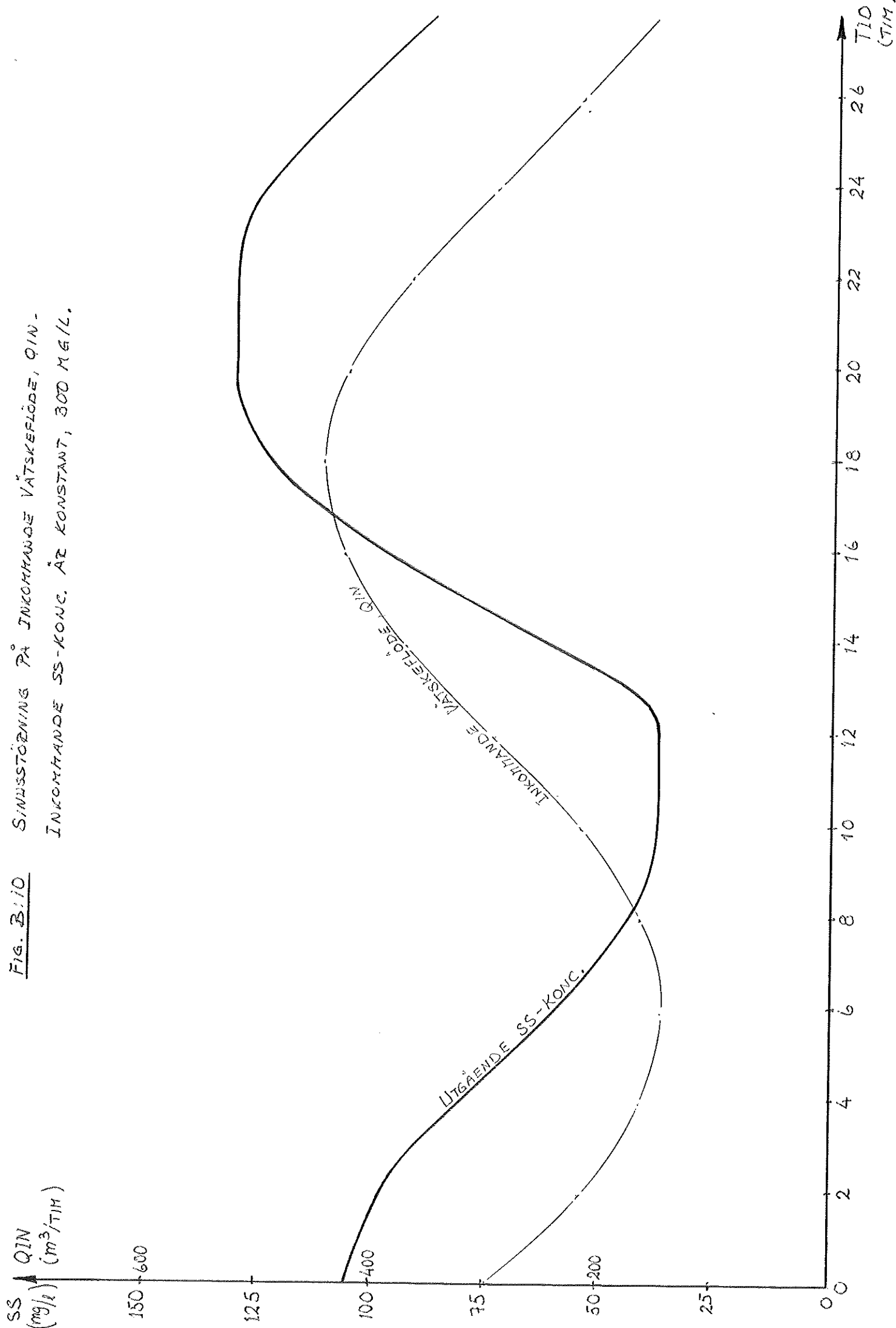
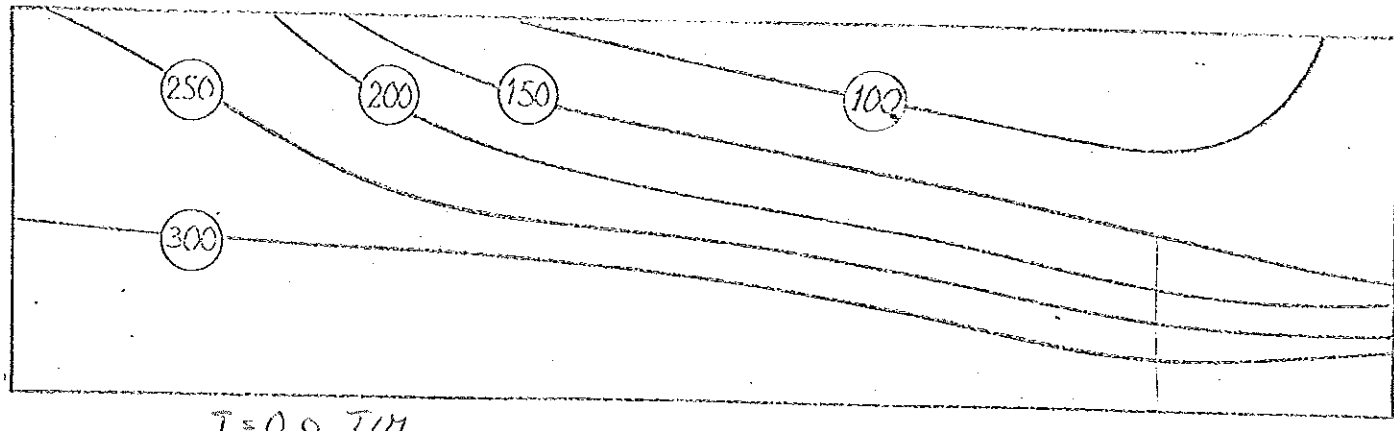
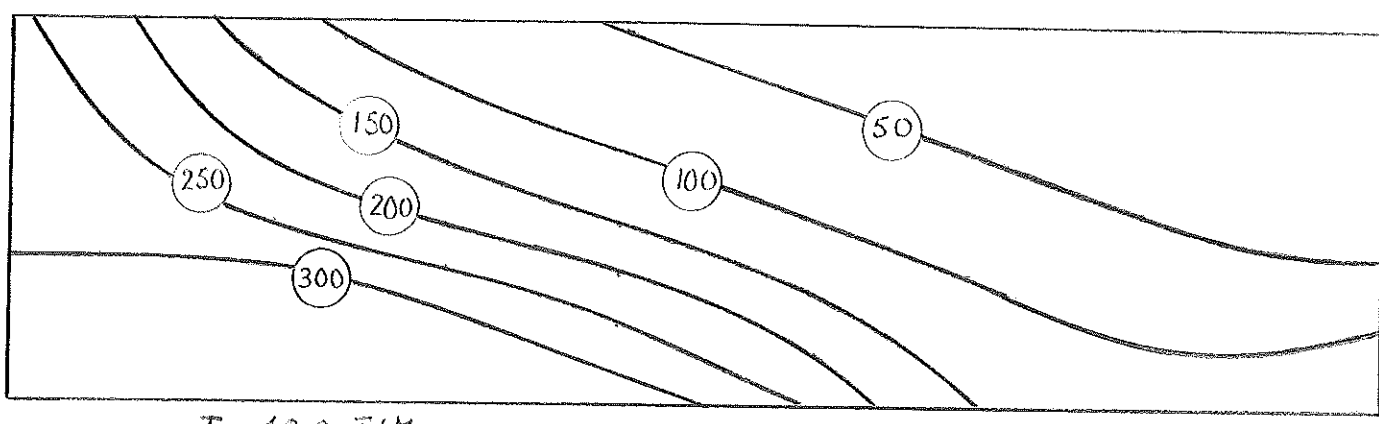


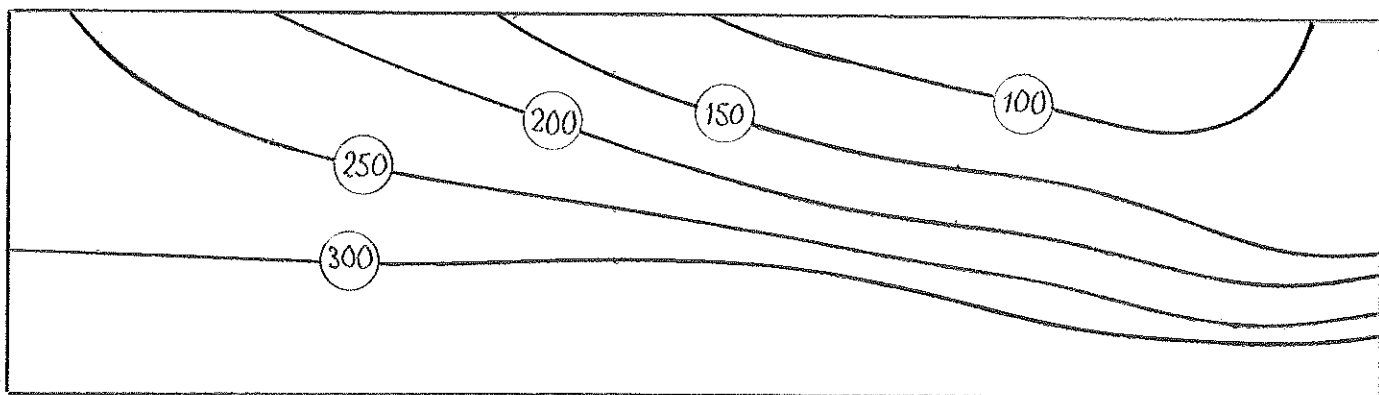
FIG. B:11 NIVÅKURVOR FÖR SINUSSTÖTNINGAR PÅ INKOMHANDE VÄTSKEFLÖDE, Q_{IN} ,
INKOMHANDE SS-KONC. ÄR KONSTANT, 300 MG/L.



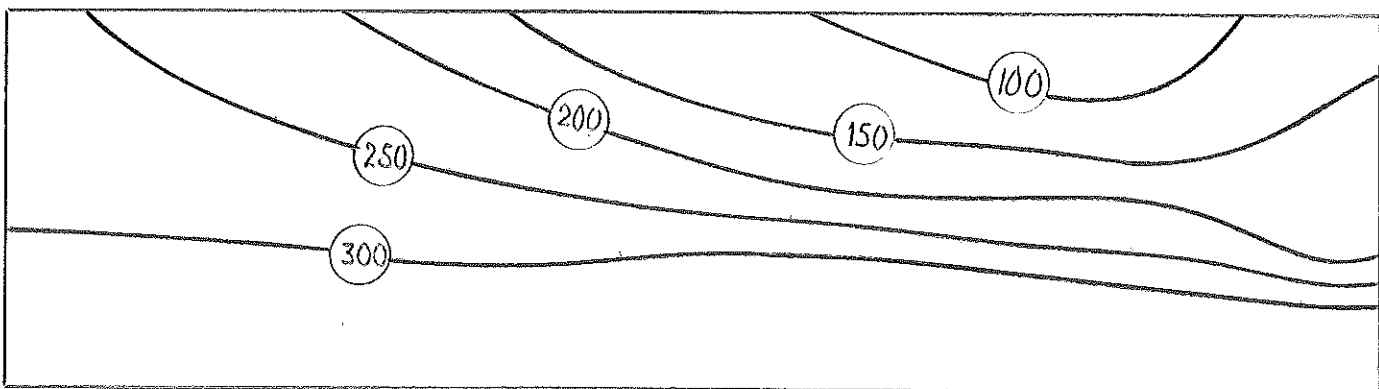
$T = 0.0 \text{ TIM}$



$T = 10.0 \text{ TIM}$



$T = 16.0 \text{ TIM}$



$T = 21.0 \text{ TIM}$

SS
(mg/l)

FIG. B:12

SIMULERINGAR PÅ INOMHANDE SS-KONC., SO (t).

INOMHANDE VÄTSKEFLOÖE, Q/m, ÄR KONSTANT, 300, TID 31717.

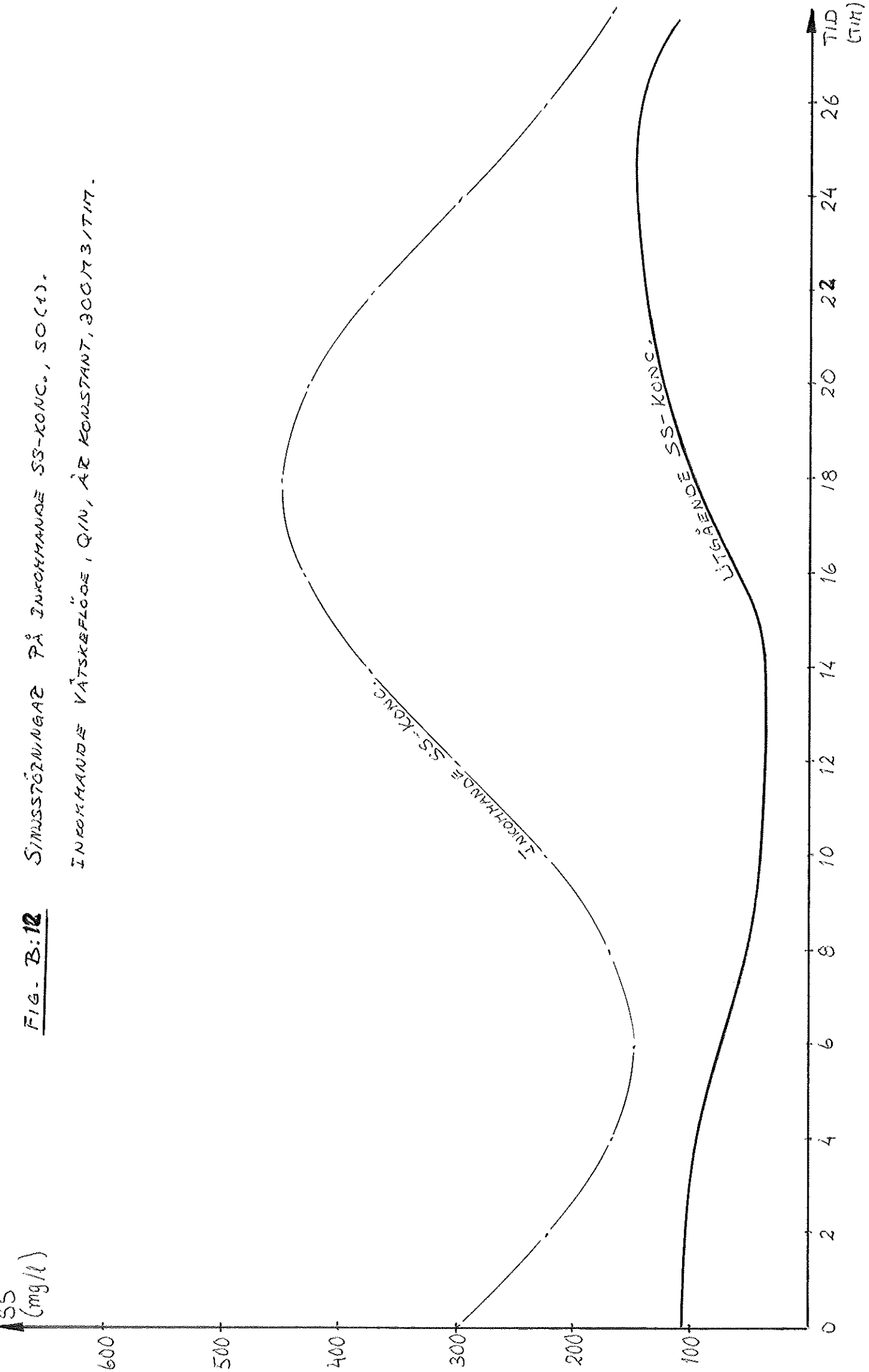
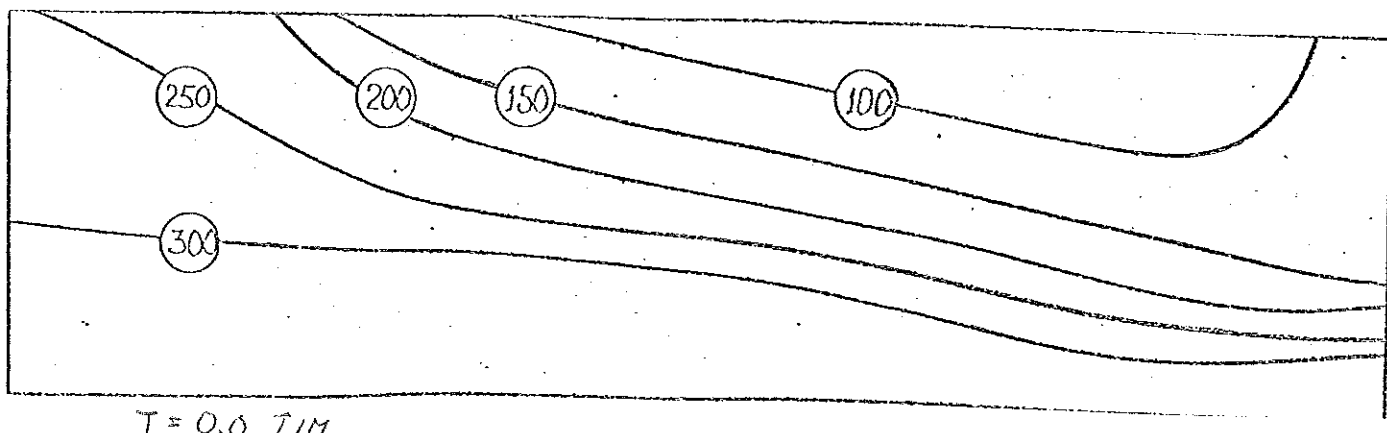
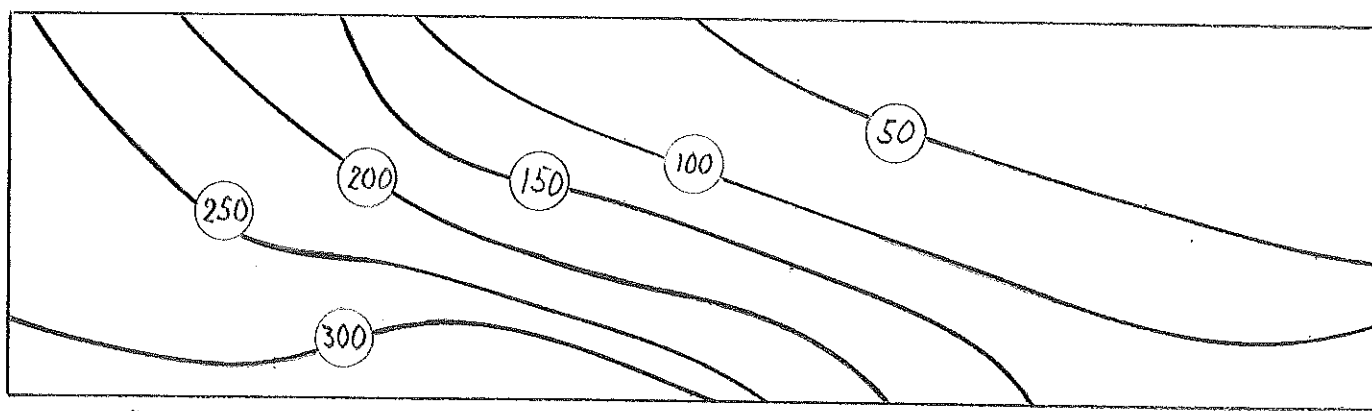
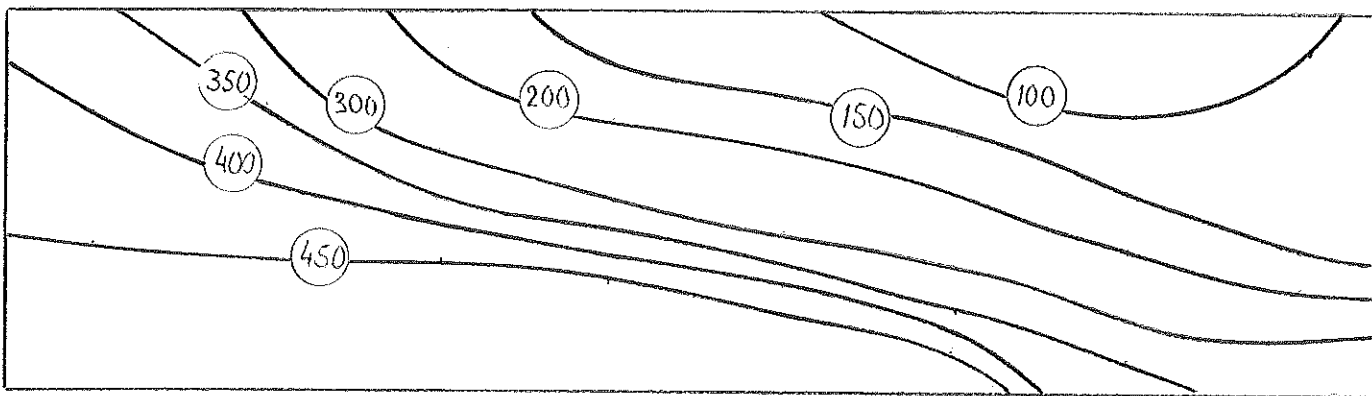
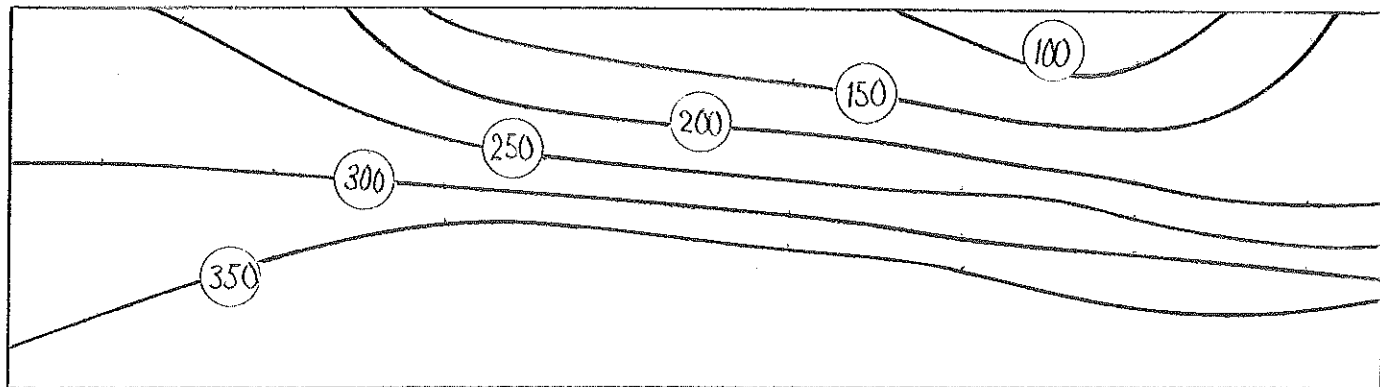


FIG. B/13

NIVÅKDEVR FÖR SINNSSTÖRNING TÅ INKOMMADÉ SS-KONC., SOC1,
INKOMMADÉ VÄTSKEFLÖDE, QIN, ÄR KONSTANT, 300 MB/TIM.

 $T = 0.0 \text{ TIM}$  $T = 12.0 \text{ TIM}$  $T = 18.0 \text{ TIM}$  $T = 24.0 \text{ TIM}$

LITGÅENDE SS-KONE. FÖR,

- a. SINNSSTÖRNING PÅ BÅDE INKOMMÄNE VATSKERLÖDE, QM,
OCH 2NOKMÄNE SS-KONE, SOC²).
- b. SINNSSTÖRNING PÅ INKOMMÄNE VATSKERLÖDE, QM.
- c. SINNSSTÖRNING PÅ INKOMMÄNE SS-KONE, SOC²).

FIG. B: 14

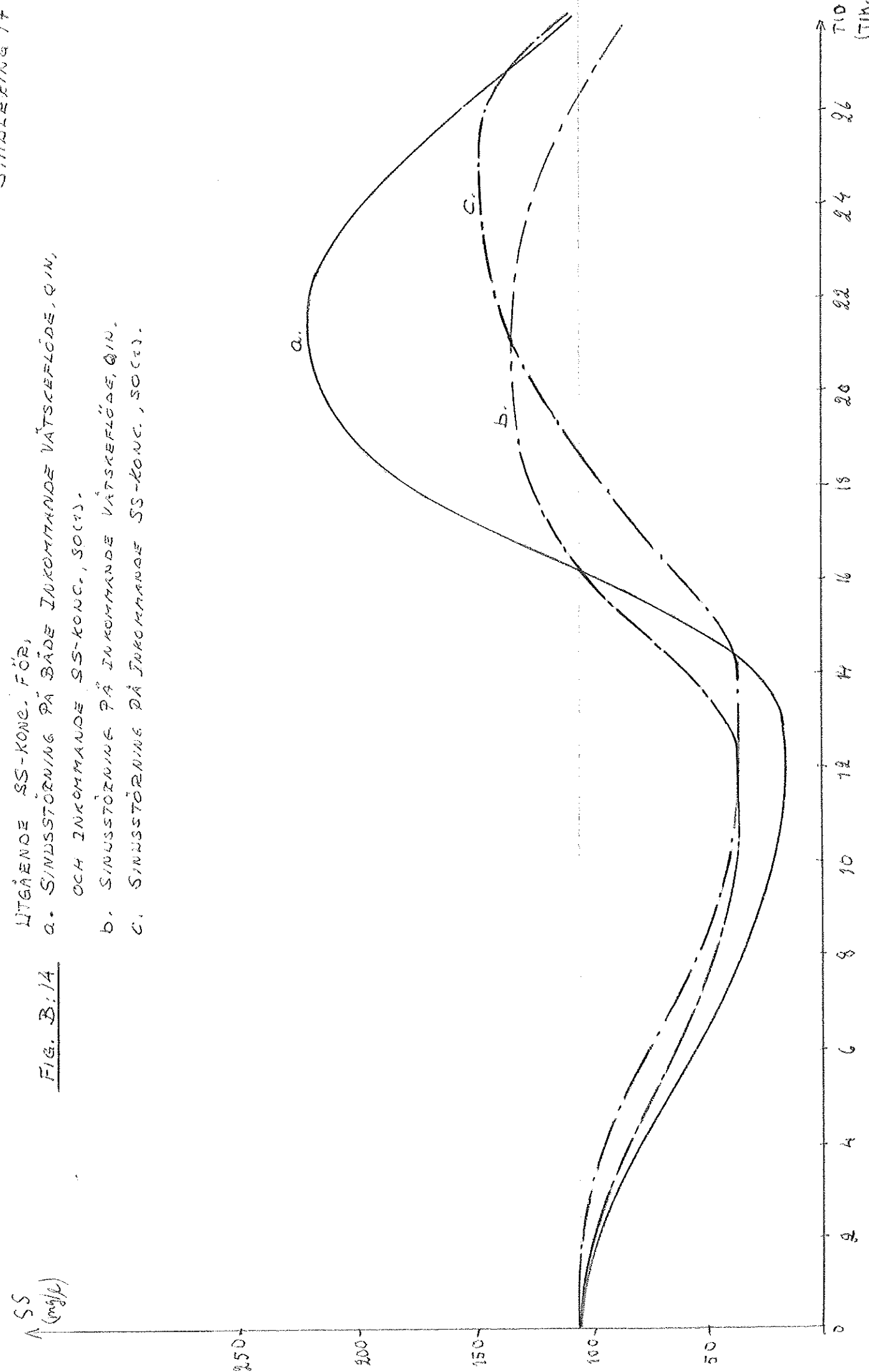


Fig. B.16

Stressänderung $\dot{\tau}_1^1 \text{ QIN}$ nach OCHTAMI REGELUNG

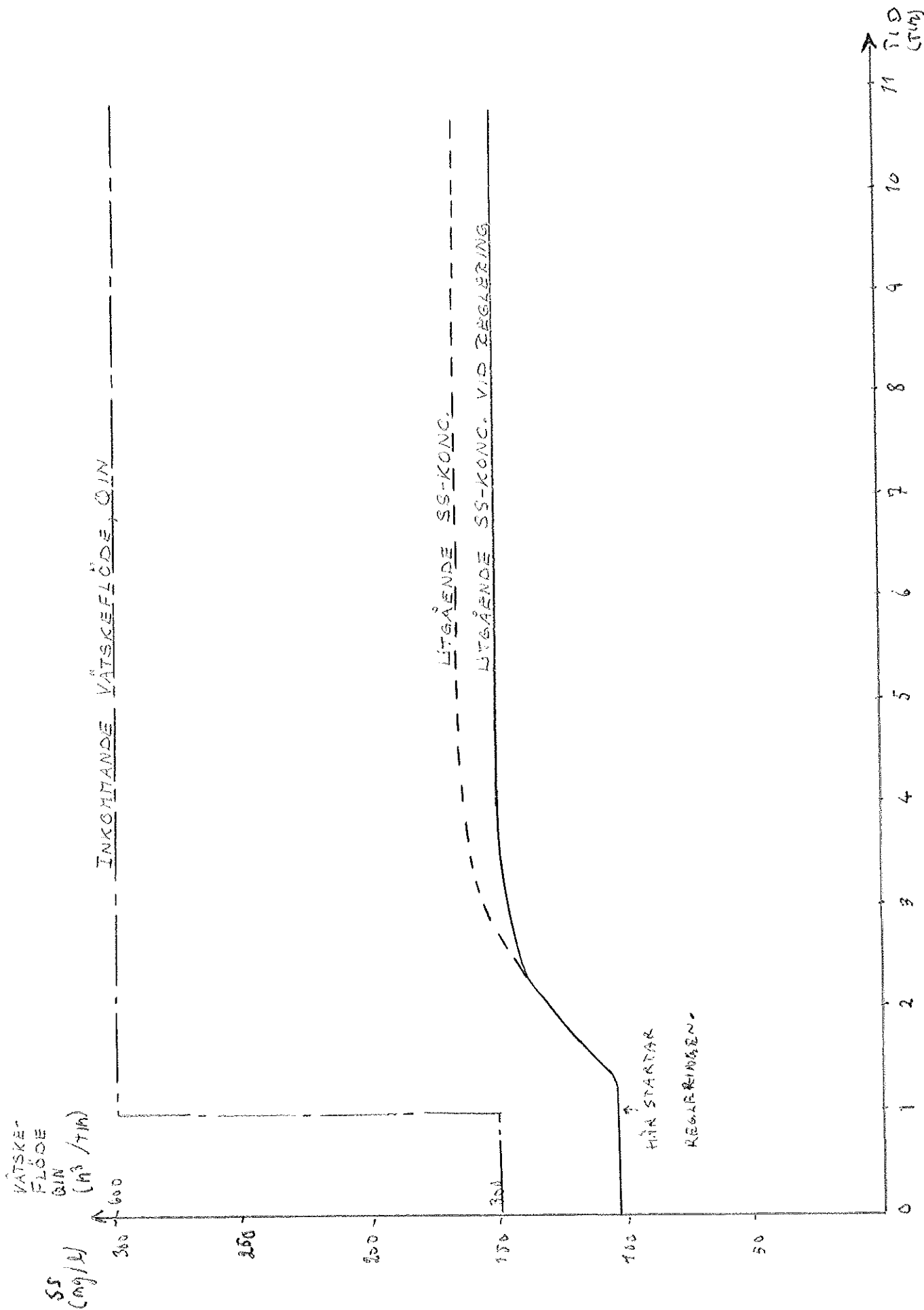


Fig. 6:17

STEERING KNUCKLE PA TIRE POSITION SS-KONG, SOC).

HEO ON WIND REGULATOR.

55

600

500

400

300

200

100

F_{10}

F_{10}

F_{10}

F_{10}

HIC SIGNATURE
REGULATOR.

UNSTEERABLE POSITION.
UNSTEERABLE POSITION. V.D. POSITION.

FIG. B:18
RUSSTÖRNING PÅ INKONTAKODE VÄTSKEFÖDE, Q/H, MED OCH UTAN REGLERING

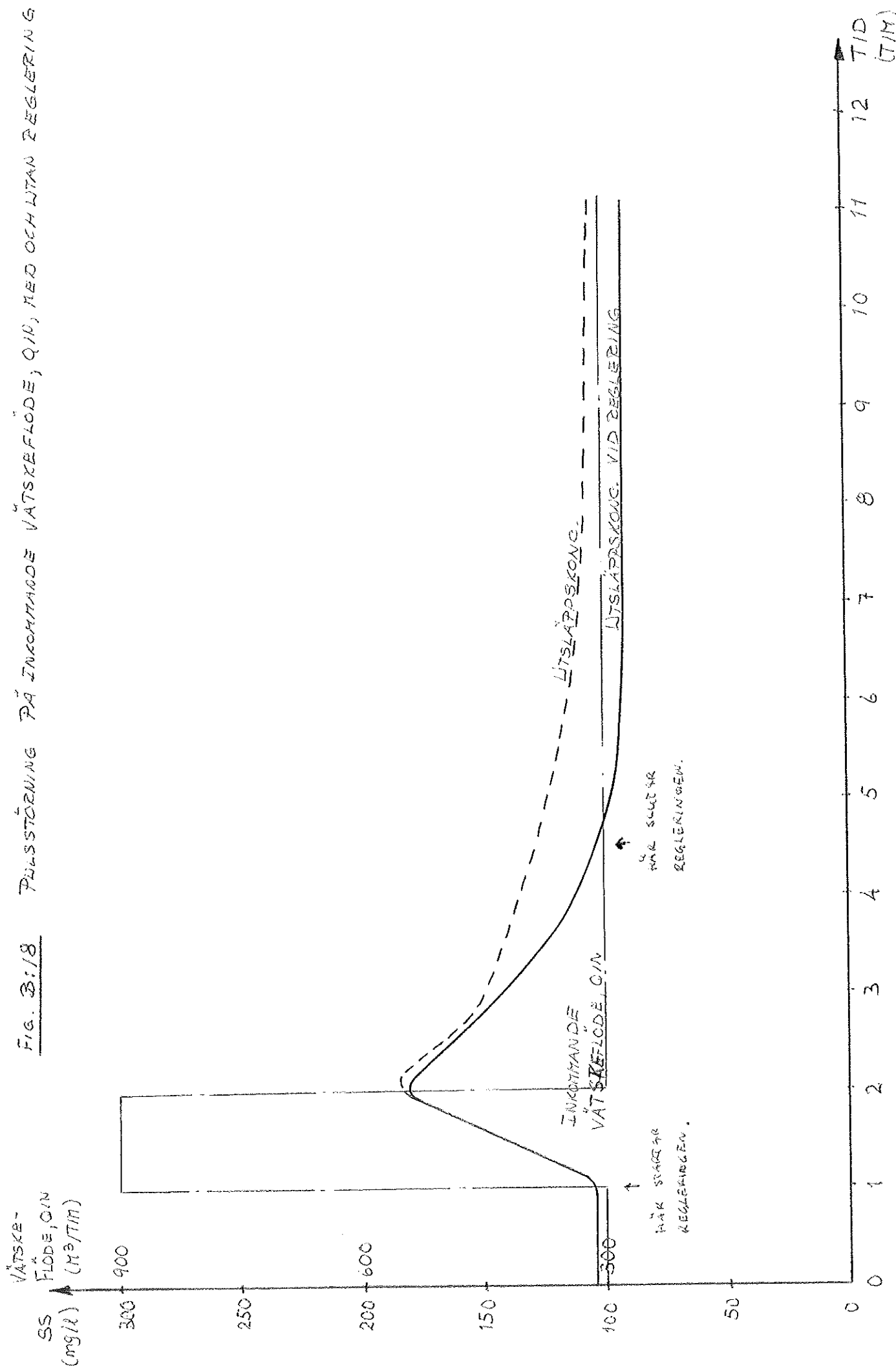


FIG. B:19 PÅSSSTÖRNING PÅ INKOMMÄDE SS-KONG. MED OCH UTAN REGULERING

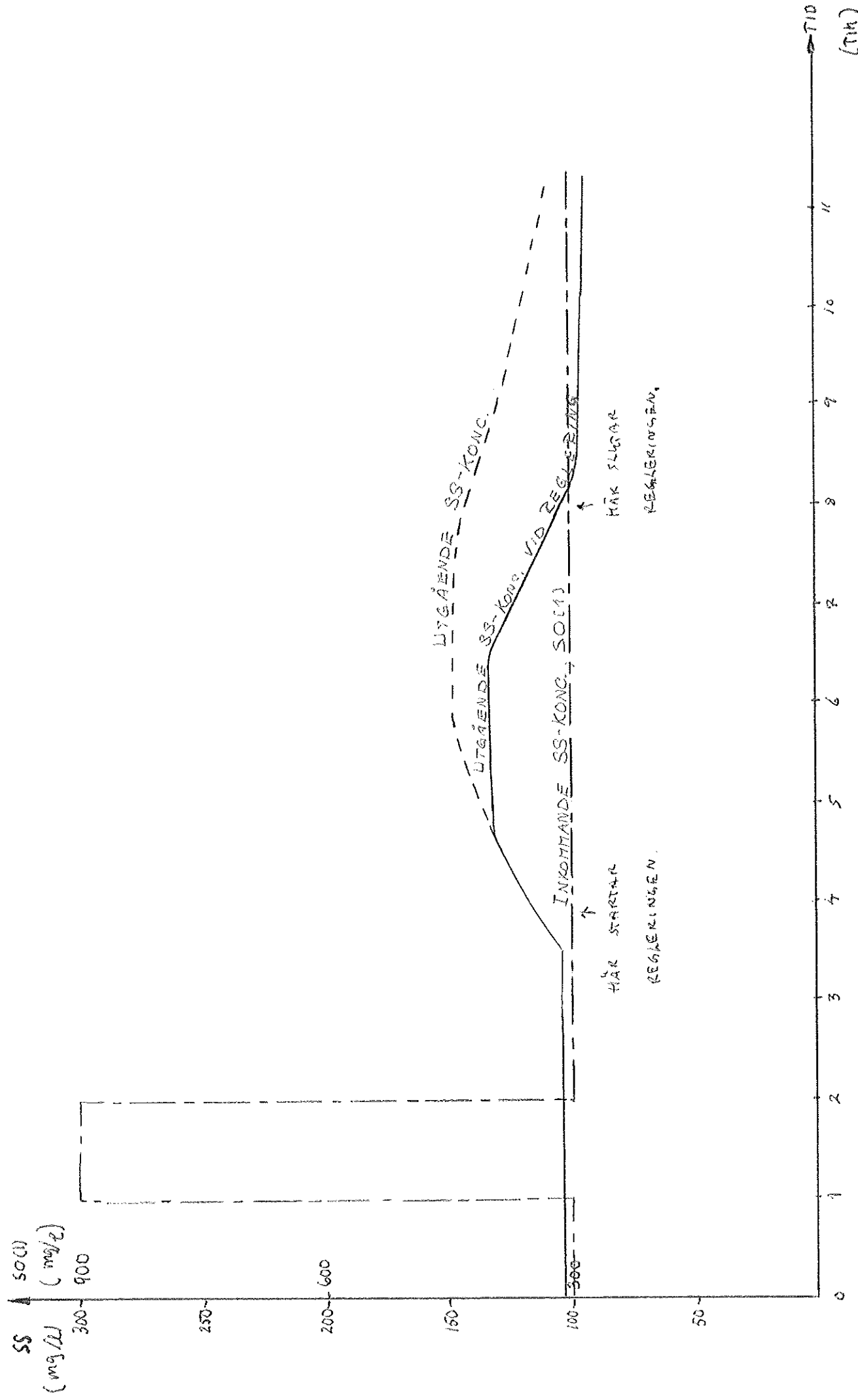


FIG. B: 20

Sinusstörungen auftrat am 20. VIII. 1920
durch Lungenreizung.

a. URGÄNDIGE STÖRUNG. MIT REZIDIVEN
b. $\sim u - m -$ NED $\sim u -$

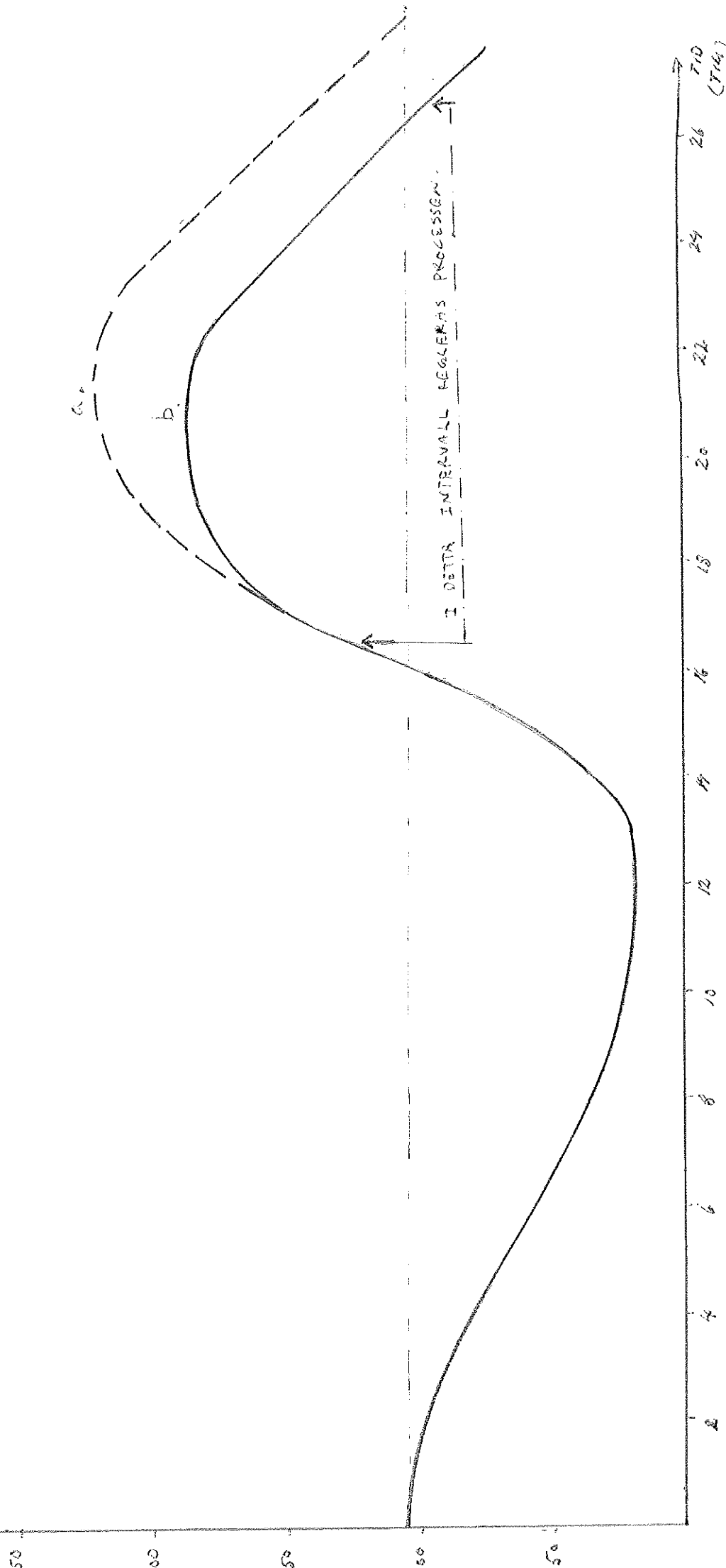


Fig. C:1. BASSÄNGKONC. FÖR PRÄVISENDE AV DIFFUSIONSKONSTANTANS, D ,
INVERSKAN PÅ SUSPENDERADE ÅHNBSKONO.

203	I	115	I	37	I	11	I	3	I	0	I	0	I	4
268	I	202	I	90	I	36	I	13	I	4	I	1	I	6
289	I	251	I	141	I	69	I	31	I	12	I	4	I	8
296	I	276	I	184	I	106	I	55	I	25	I	10	I	10
298	I	288	I	217	I	141	I	82	I	43	I	20	I	20
538	I	648	I	977	I	621	I	362	I	163	I	60	I	20

$D = 0.0$

244	I	193	I	100	I	62	I	43	I	32	I	24	I	64
268	I	229	I	145	I	99	I	72	I	54	I	41	I	74
285	I	261	I	197	I	152	I	118	I	89	I	68	I	86
301	I	299	I	277	I	238	I	194	I	151	I	116	I	96
328	I	355	I	422	I	388	I	323	I	254	I	198	I	174
379	I	446	I	722	I	662	I	547	I	428	I	336	I	295

$D = 2.0$

255	I	215	I	131	I	100	I	82	I	69	I	58	I	104
271	I	241	I	173	I	139	I	116	I	98	I	83	I	116
284	I	265	I	223	I	191	I	164	I	141	I	119	I	128
297	I	292	I	290	I	265	I	233	I	201	I	171	I	135
315	I	327	I	392	I	371	I	330	I	287	I	244	I	220
342	I	375	I	557	I	527	I	468	I	406	I	345	I	381

$D = 3.60$

262	I	200	I	162	I	137	I	118	I	103	I	89	I	113
272	I	245	I	192	I	166	I	143	I	125	I	108	I	120
280	I	260	I	226	I	201	I	174	I	152	I	131	I	125
287	I	275	I	266	I	244	I	212	I	184	I	158	I	123
296	I	292	I	317	I	295	I	258	I	223	I	191	I	185
308	I	313	I	385	I	358	I	313	I	270	I	231	I	342

$D = 7.20$

FIG. C:2 BASSÄNGKONG, FÖR PÄVISANOS AV MOHONTANA SLÄHBORTTAGNINGENS
INTERVALLETS INVERKAN PÅ SUSPENDERADE ÅMNÄSKONG.

255	I	215	I	131	I	100	I	82	I	69	I	58	I	104	I
271	I	241	I	173	I	139	I	116	I	98	I	83	I	116	I
284	I	265	I	223	I	191	I	164	I	141	I	119	I	128	I
297	I	292	I	290	I	265	I	233	I	201	I	171	I	135	I
315	I	327	I	392	I	371	I	330	I	287	I	244	I	220	I
342	I	375	I	557	I	527	I	468	I	406	I	345	I	381	I

1 ggr / tim

I	255	I	212	I	126	I	93	I	73	I	59	I	47	I	74	I
I	271	I	237	I	168	I	132	I	106	I	87	I	70	I	86	I
I	283	I	261	I	218	I	184	I	153	I	127	I	103	I	100	I
I	296	I	289	I	285	I	256	I	219	I	184	I	149	I	110	I
I	314	I	324	I	386	I	359	I	312	I	263	I	212	I	188	I
I	341	I	371	I	549	I	510	I	442	I	371	I	298	I	303	I

2 ggr / tim

I	254	I	209	I	122	I	83	I	60	I	43	I	32	I	51	I
I	270	I	234	I	158	I	112	I	82	I	60	I	44	I	56	I
I	282	I	256	I	195	I	146	I	109	I	80	I	59	I	61	I
I	293	I	278	I	239	I	190	I	145	I	106	I	78	I	62	I
I	308	I	305	I	302	I	247	I	191	I	141	I	102	I	98	I
I	330	I	342	I	403	I	329	I	255	I	187	I	135	I	120	I

4 ggr / tim

Fig. C:3 STEGSTÖRNING PÅ INKONHANDE VÄTSKEFLÖDE, QIN, 300-600 M³/TIM.
INKONHANDE SS-KONG. ÅB KONSTANT, 300 MG/L.

I	255	I	215	I	131	I	100	I	82	I	69	I	58	I	104
I	271	I	241	I	175	I	139	I	116	I	98	I	85	I	116
I	284	I	265	I	223	I	191	I	164	I	141	I	119	I	128
I	297	I	292	I	290	I	265	I	233	I	201	I	171	I	135
I	315	I	327	I	392	I	371	I	330	I	287	I	244	I	220
I	342	I	375	I	557	I	527	I	468	I	406	I	345	I	381

T = 1,0 TIM

I	262	I	239	I	211	I	193	I	152	I	116	I	95	I	155
I	277	I	258	I	237	I	221	I	190	I	157	I	134	I	173
I	288	I	275	I	262	I	250	I	231	I	206	I	184	I	190
I	299	I	293	I	289	I	282	I	281	I	272	I	251	I	199
I	314	I	314	I	323	I	319	I	352	I	367	I	347	I	324
I	341	I	341	I	370	I	365	I	464	I	518	I	486	I	741

T = 3,0 TIM

I	262	I	239	I	211	I	193	I	152	I	117	I	98	I	165
I	277	I	258	I	237	I	221	I	190	I	158	I	137	I	183
I	288	I	275	I	262	I	250	I	231	I	208	I	190	I	202
I	299	I	293	I	289	I	282	I	281	I	275	I	265	I	214
I	314	I	314	I	323	I	319	I	352	I	374	I	367	I	353
I	341	I	341	I	370	I	365	I	465	I	532	I	521	I	917

T = 4,0 TIM

FIG. C:4 STÅGSTÖRNING PÅ INKOMMENDA SS-KONC., SO(1), 300-600 HZ/L.
VÄTSKEFLÖDET, QIN ÅB KONSTANT, 300 m³/TH.

	255	I	215	I	131	I	100	I	82	I	69	I	58	I	104	I
	271	I	241	I	173	I	139	I	116	I	98	I	83	I	116	I
	284	I	265	I	223	I	191	I	164	I	141	I	119	I	128	I
	297	I	292	I	290	I	265	I	233	I	201	I	171	I	135	I
	315	I	327	I	392	I	371	I	330	I	287	I	244	I	220	I
	342	I	375	I	557	I	527	I	468	I	406	I	345	I	381	I

T = 1,0 TH

	507	I	427	I	265	I	202	I	162	I	130	I	101	I	157	I
	542	I	484	I	354	I	283	I	230	I	185	I	144	I	177	I
	573	I	541	I	460	I	389	I	323	I	260	I	203	I	197	I
	606	I	606	I	598	I	537	I	453	I	366	I	286	I	208	I
	648	I	685	I	807	I	748	I	633	I	512	I	400	I	539	I
	708	I	789	I	1145	I	1053	I	887	I	712	I	556	I	528	I

T = 6,0 TH

	507	I	430	I	269	I	210	I	177	I	152	I	132	I	229	I
	542	I	486	I	358	I	294	I	253	I	220	I	190	I	260	I
	573	I	544	I	465	I	409	I	360	I	315	I	273	I	291	I
	606	I	609	I	609	I	565	I	508	I	448	I	390	I	312	I
	648	I	689	I	824	I	792	I	717	I	637	I	555	I	515	I
	708	I	794	I	1173	I	1124	I	1016	I	902	I	785	I	902	I

T = 20,0 TH

FIG. C15 STEGSTÖRNING I QIN, 300-600 m³/TIM, OCH I SOL10, 300-600 MG/L.

255	I	215	I	131	I	100	I	82	I	69	I	58	I	104
271	I	241	I	173	I	139	I	116	I	98	I	83	I	116
284	I	265	I	223	I	191	I	164	I	141	I	119	I	128
297	I	292	I	290	I	265	I	233	I	201	I	171	I	135
315	I	327	I	392	I	371	I	330	I	287	I	244	I	220
342	I	375	I	557	I	527	I	468	I	406	I	345	I	381

 $T = 1,0 \text{ TIM}$

I	534	I	496	I	439	I	391	I	293	I	208	I	155	I	211
I	564	I	535	I	489	I	442	I	357	I	273	I	210	I	234
I	586	I	569	I	536	I	491	I	423	I	345	I	277	I	254
I	609	I	604	I	586	I	543	I	497	I	434	I	362	I	261
I	643	I	646	I	646	I	602	I	596	I	561	I	479	I	409
I	703	I	702	I	729	I	671	I	754	I	760	I	644	I	805

 $T = 3,0 \text{ TIM}$

I	534	I	498	I	448	I	419	I	337	I	262	I	221	I	354
I	564	I	537	I	503	I	478	I	418	I	352	I	306	I	393
I	586	I	573	I	556	I	540	I	506	I	460	I	417	I	430
I	609	I	610	I	615	I	611	I	614	I	601	I	566	I	448
I	643	I	656	I	690	I	694	I	765	I	810	I	780	I	728
I	703	I	717	I	795	I	798	I	1005	I	1144	I	1095	I	1698

 $T = 5,0 \text{ TIM}$

I	534	I	498	I	448	I	420	I	339	I	267	I	228	I	385
I	564	I	537	I	503	I	479	I	421	I	358	I	319	I	427
I	586	I	573	I	556	I	542	I	510	I	470	I	437	I	467
I	609	I	610	I	615	I	613	I	621	I	617	I	598	I	489
I	643	I	656	I	690	I	698	I	776	I	837	I	831	I	799
I	703	I	717	I	795	I	804	I	1025	I	1190	I	1179	I	2088

 $T = 7,0 \text{ TIM}$

FIG. C:6 PULSSTÖRNING PÅ INKOMMENDE VÄTSKEFLÖDE, Q_{IN} ,
INKOMMENDE SS-KONC. ÄR KONSTANT, 300 MG/L.

I	255	I	215	I	131	I	100	I	82	I	69	I	58	I	104	I
I	271	I	241	I	173	I	139	I	116	I	98	I	83	I	116	I
I	284	I	265	I	223	I	191	I	164	I	141	I	119	I	128	I
I	297	I	292	I	290	I	265	I	233	I	201	I	171	I	135	I
I	315	I	327	I	392	I	371	I	330	I	287	I	244	I	220	I
I	342	I	375	I	557	I	527	I	468	I	406	I	345	I	381	I

 $T = 1.0 \text{ T/H}$

I	271	I	252	I	235	I	216	I	183	I	155	I	129	I	143	I
I	284	I	270	I	255	I	236	I	208	I	179	I	151	I	152	I
I	292	I	284	I	275	I	259	I	235	I	207	I	179	I	158	I
I	300	I	298	I	296	I	286	I	267	I	241	I	211	I	156	I
I	313	I	317	I	322	I	316	I	305	I	278	I	244	I	232	I
I	340	I	344	I	354	I	348	I	348	I	314	I	272	I	500	I

 $T = 1.50 \text{ T/H}$

I	271	I	252	I	239	I	229	I	210	I	194	I	175	I	184	I
I	284	I	270	I	259	I	250	I	236	I	221	I	200	I	190	I
I	292	I	284	I	277	I	271	I	261	I	248	I	225	I	193	I
I	300	I	298	I	297	I	293	I	289	I	277	I	253	I	185	I
I	313	I	317	I	322	I	319	I	322	I	311	I	283	I	267	I
I	340	I	344	I	354	I	348	I	368	I	350	I	312	I	808	I

 $T = 2.0 \text{ T/H}$

I	255	I	215	I	132	I	102	I	87	I	79	I	74	I	138	I
I	272	I	241	I	174	I	141	I	124	I	113	I	106	I	155	I
I	285	I	266	I	225	I	195	I	175	I	161	I	151	I	172	I
I	298	I	293	I	293	I	272	I	249	I	230	I	215	I	183	I
I	316	I	328	I	396	I	383	I	356	I	329	I	307	I	305	I
I	343	I	376	I	564	I	545	I	509	I	470	I	439	I	547	I

 $T = 4.0 \text{ T/H}$

FIG. C/7 PULSSTÖRNING PÅ INKOMMENDE SS-KONG., SOCIS.INKOMMENDE VÄTSKEEPLÖDE ÄR KONSTANT, 300 M³/TID.

255	I	215	I	131	I	100	I	82	I	69	I	58	I	104	I
271	I	241	I	173	I	139	I	116	I	98	I	83	I	116	I
284	I	265	I	223	I	191	I	164	I	141	I	119	I	128	I
297	I	292	I	290	I	265	I	233	I	201	I	171	I	135	I
315	I	327	I	392	I	371	I	330	I	287	I	244	I	220	I
342	I	375	I	557	I	527	I	468	I	406	I	345	I	381	I

T = 1,0 TIM

261	I	231	I	158	I	137	I	126	I	106	I	85	I	138	I
279	I	261	I	212	I	194	I	180	I	152	I	122	I	157	I
295	I	294	I	280	I	273	I	257	I	219	I	177	I	177	I
313	I	332	I	376	I	386	I	365	I	313	I	250	I	189	I
336	I	380	I	521	I	552	I	521	I	443	I	353	I	306	I
369	I	444	I	756	I	798	I	745	I	624	I	493	I	473	I

T = 5,0 TIM

256	I	218	I	138	I	112	I	101	I	93	I	84	I	147	I
273	I	246	I	183	I	157	I	144	I	133	I	121	I	167	I
287	I	273	I	236	I	217	I	204	I	190	I	173	I	188	I
300	I	302	I	309	I	301	I	288	I	271	I	248	I	203	I
317	I	337	I	420	I	425	I	411	I	388	I	356	I	334	I
344	I	386	I	602	I	609	I	589	I	556	I	510	I	618	I

T = 7,0 TIM

255	I	215	I	133	I	102	I	87	I	78	I	70	I	131	I
272	I	241	I	175	I	142	I	124	I	111	I	100	I	147	I
285	I	266	I	225	I	197	I	175	I	158	I	143	I	163	I
298	I	293	I	294	I	274	I	249	I	226	I	204	I	174	I
316	I	328	I	398	I	385	I	355	I	324	I	292	I	290	I
343	I	376	I	567	I	548	I	506	I	464	I	417	I	558	I

T = 9,0 TIM

FIG. C:8 SINNSSTÖRNING PÅ INKOMMENDE VÄTSKEFLÖDE, QIN,
INKOMMENDE SS-KONC. ÅP KONSTANT, SO(1), 300 MG/L.

255	I	215	I	131	I	100	I	82	I	69	I	58	I	104	I
271	I	241	I	173	I	139	I	116	I	98	I	85	I	116	I
284	I	265	I	225	I	191	I	164	I	141	I	119	I	128	I
297	I	292	I	290	I	265	I	233	I	201	I	171	I	135	I
315	I	327	I	392	I	371	I	330	I	287	I	244	I	220	I
342	I	375	I	557	I	527	I	468	I	406	I	345	I	381	I

T = 1.0 TIM

216	I	115	I	77	I	54	I	40	I	29	I	22	I	38	I
242	I	156	I	110	I	79	I	57	I	41	I	31	I	43	I
267	I	205	I	155	I	115	I	83	I	59	I	43	I	47	I
294	I	271	I	217	I	165	I	120	I	85	I	59	I	49	I
328	I	367	I	303	I	233	I	171	I	121	I	82	I	81	I
376	I	521	I	426	I	328	I	240	I	170	I	114	I	131	I

T = 10.0 TIM

255	I	220	I	188	I	132	I	105	I	90	I	76	I	132	I
271	I	245	I	222	I	174	I	144	I	126	I	109	I	150	I
284	I	268	I	252	I	221	I	196	I	176	I	156	I	168	I
297	I	294	I	284	I	283	I	268	I	248	I	224	I	178	I
314	I	328	I	325	I	376	I	372	I	350	I	319	I	301	I
341	I	376	I	388	I	533	I	529	I	497	I	452	I	631	I

T = 16.0 TIM

253	I	212	I	189	I	138	I	100	I	78	I	62	I	100	I
269	I	238	I	217	I	176	I	137	I	111	I	90	I	114	I
282	I	263	I	248	I	222	I	186	I	156	I	128	I	128	I
295	I	290	I	283	I	282	I	253	I	217	I	180	I	136	I
312	I	324	I	324	I	367	I	349	I	304	I	252	I	220	I
339	I	371	I	375	I	494	I	489	I	423	I	348	I	400	I

T = 26.0 TIM

FIG. C: 9 SINUSSTÖRNING PÅ INKONHANDE SS-KONE., 50(Hz).

INKONHANDE VÄTSKEFLÖDE, DIN, ÅP KONSTANT, 300 H³/TIM.

255	I	215	I	131	I	100	I	82	I	69	I	58	I	104
271	I	241	I	173	I	139	I	116	I	98	I	83	I	116
284	I	265	I	223	I	191	I	164	I	141	I	119	I	128
297	I	292	I	290	I	265	I	233	I	201	I	171	I	135
315	I	327	I	392	I	371	I	330	I	287	I	244	I	220
342	I	375	I	557	I	527	I	468	I	406	I	345	I	381

T=0.0 TIM

I	236	I	181	I	99	I	63	I	42	I	28	I	22	I	38
I	252	I	203	I	130	I	89	I	61	I	42	I	31	I	42
I	264	I	224	I	166	I	122	I	88	I	62	I	44	I	46
I	274	I	245	I	210	I	165	I	124	I	89	I	63	I	48
I	287	I	270	I	277	I	226	I	173	I	126	I	90	I	77
I	307	I	304	I	384	I	311	I	240	I	174	I	125	I	123

T=12.0 TIM

I	374	I	311	I	189	I	138	I	108	I	84	I	63	I	96
I	400	I	352	I	251	I	193	I	154	I	121	I	91	I	110
I	423	I	393	I	324	I	266	I	217	I	172	I	130	I	125
I	447	I	438	I	419	I	366	I	302	I	242	I	184	I	135
I	477	I	493	I	563	I	506	I	423	I	340	I	258	I	218
I	520	I	565	I	795	I	711	I	592	I	475	I	356	I	345

T=18.0 TIM

I	265	I	235	I	155	I	129	I	114	I	102	I	87	I	148
I	283	I	265	I	207	I	181	I	163	I	145	I	125	I	169
I	299	I	297	I	271	I	251	I	230	I	207	I	181	I	190
I	317	I	334	I	358	I	350	I	327	I	296	I	259	I	205
I	341	I	380	I	491	I	496	I	467	I	423	I	370	I	346
I	377	I	442	I	706	I	712	I	668	I	602	I	526	I	623

T=24.0 TIM

FIG. C10 SÄNNSTÖRNING PÅ INKOMMANDES VÄTSKEFLÖDE, Q/N, OCH
PÅ INKOMMANDES S3-KONC., SO(1).

	255	I	215	I	131	I	100	I	82	I	69	I	58	I	104	I
	271	I	241	I	173	I	139	I	116	I	98	I	83	I	116	I
	284	I	265	I	223	I	191	I	164	I	141	I	119	I	128	I
	297	I	292	I	290	I	265	I	233	I	201	I	171	I	135	I
	315	I	327	I	392	I	371	I	330	I	287	I	244	I	220	I
	342	I	375	I	557	I	527	I	468	I	406	I	345	I	381	I

 $T = 0.0 \text{ Tim}$

	227	I	155	I	81	I	48	I	26	I	13	I	10	I	18	I
	243	I	177	I	107	I	66	I	38	I	20	I	14	I	20	I
	256	I	203	I	138	I	89	I	54	I	29	I	20	I	22	I
	269	I	235	I	179	I	119	I	74	I	42	I	28	I	23	I
	284	I	274	I	237	I	161	I	101	I	59	I	38	I	38	I
	304	I	323	I	325	I	216	I	136	I	79	I	52	I	65	I

 $T = 12.0 \text{ Tim}$

	368	I	308	I	269	I	185	I	126	I	95	I	71	I	97	I
	391	I	345	I	306	I	233	I	172	I	131	I	100	I	109	I
	409	I	378	I	345	I	290	I	230	I	181	I	138	I	123	I
	427	I	413	I	388	I	362	I	306	I	247	I	191	I	132	I
	450	I	458	I	439	I	462	I	415	I	339	I	261	I	211	I
	487	I	522	I	500	I	615	I	572	I	463	I	355	I	309	I

 $T = 16.0 \text{ Tim}$

	333	I	295	I	225	I	171	I	148	I	134	I	123	I	223	I
	355	I	332	I	282	I	234	I	208	I	191	I	175	I	250	I
	373	I	369	I	345	I	313	I	289	I	270	I	250	I	276	I
	393	I	410	I	423	I	421	I	405	I	383	I	356	I	291	I
	420	I	463	I	535	I	580	I	572	I	545	I	508	I	488	I
	462	I	536	I	708	I	829	I	817	I	778	I	725	I	1014	I

 $T = 22.0 \text{ Tim}$

FIG. C/11 STEGSTYRING PÅ QIN, MED DEGLERING.

I	255	I	215	I	131	I	100	I	82	I	69	I	58	I	104	I
I	271	I	241	I	173	I	139	I	116	I	98	I	83	I	116	I
I	284	I	265	I	223	I	191	I	164	I	141	I	119	I	128	I
I	297	I	292	I	290	I	265	I	233	I	201	I	171	I	135	I
I	315	I	327	I	392	I	371	I	330	I	287	I	244	I	220	I
I	342	I	375	I	557	I	527	I	468	I	406	I	345	I	381	I

 $T = 1.0 \text{ TM}$

I	262	I	239	I	211	I	193	I	151	I	114	I	92	I	146	I
I	277	I	258	I	237	I	221	I	188	I	153	I	128	I	162	I
I	288	I	275	I	261	I	249	I	227	I	199	I	174	I	177	I
I	299	I	293	I	287	I	279	I	272	I	258	I	234	I	185	I
I	314	I	314	I	320	I	315	I	335	I	342	I	317	I	296	I
I	341	I	341	I	365	I	360	I	434	I	475	I	437	I	526	I

 $T = 3.0 \text{ TM}$

I	262	I	239	I	211	I	193	I	151	I	115	I	94	I	151	I
I	277	I	258	I	237	I	221	I	188	I	154	I	130	I	167	I
I	288	I	275	I	261	I	248	I	225	I	199	I	176	I	182	I
I	299	I	293	I	287	I	278	I	270	I	258	I	237	I	189	I
I	314	I	314	I	319	I	314	I	332	I	342	I	323	I	306	I
I	341	I	341	I	364	I	357	I	429	I	475	I	448	I	554	I

 $T = 6.0 \text{ TM}$

FIG. L:12 STEGSTÖRNING PÅ TURKOMHANDE SS-LONG, MED REGULERING

	255		215		131		100		82		69		58		104	
	271		241		173		139		116		98		85		116	
	284		265		223		191		164		141		119		128	
	297		292		290		265		233		201		171		135	
	315		327		392		371		330		287		244		220	
	342		375		557		527		468		406		345		381	

 $T = 1.0 \text{ Tim}$

	507		427		263		195		153		120		93		146	
	542		482		346		270		216		172		132		166	
	572		535		443		367		301		241		187		185	
	604		594		567		496		415		334		259		196	
	643		665		749		679		573		462		359		316	
	701		760		1046		948		797		639		495		420	

 $T = 6.0 \text{ Tim}$

	507		427		261		193		153		123		98		162	
	542		482		344		266		214		175		141		183	
	572		535		438		362		298		246		199		204	
	604		593		560		488		411		341		277		217	
	643		664		738		667		568		473		385		358	
	701		758		1028		928		790		657		535		498	

 $T = 11.0 \text{ Tim}$

FIG.C:13 PULSSTÖRNING PÅ INKONNANDE VÄTSKEFLÖD, MED REGLERING

I	255	I	215	I	131	I	100	I	82	I	69	I	58	I	104
I	271	I	241	I	173	I	139	I	116	I	98	I	83	I	116
I	284	I	265	I	223	I	191	I	164	I	141	I	119	I	128
I	297	I	292	I	290	I	265	I	233	I	201	I	171	I	135
I	315	I	327	I	392	I	371	I	330	I	287	I	244	I	220
I	342	I	375	I	557	I	527	I	468	I	406	I	345	I	381

 $T = 1.0 \text{ TIM}$

I	271	I	252	I	235	I	216	I	183	I	155	I	129	I	143
I	284	I	270	I	255	I	236	I	208	I	179	I	151	I	152
I	292	I	284	I	275	I	259	I	235	I	207	I	179	I	158
I	300	I	298	I	296	I	286	I	267	I	241	I	211	I	156
I	313	I	317	I	322	I	316	I	305	I	278	I	244	I	232
I	340	I	344	I	354	I	348	I	348	I	314	I	272	I	500

 $T = 1.5 \text{ TIM}$

I	271	I	252	I	239	I	228	I	208	I	191	I	173	I	182
I	284	I	270	I	258	I	248	I	233	I	216	I	197	I	188
I	292	I	284	I	276	I	268	I	257	I	241	I	221	I	190
I	300	I	298	I	294	I	288	I	283	I	268	I	247	I	181
I	313	I	317	I	316	I	311	I	313	I	299	I	275	I	259
I	340	I	344	I	343	I	338	I	355	I	334	I	303	I	535

 $T = 2.0 \text{ TIM}$

I	255	I	214	I	130	I	96	I	79	I	68	I	61	I	113
I	271	I	240	I	170	I	133	I	111	I	97	I	87	I	127
I	284	I	264	I	215	I	179	I	153	I	136	I	123	I	140
I	297	I	290	I	273	I	242	I	212	I	190	I	173	I	149
I	315	I	324	I	361	I	331	I	296	I	268	I	245	I	251
I	342	I	369	I	502	I	462	I	417	I	380	I	349	I	373

 $T = 4.0 \text{ TIM}$

FIG. C:14 PÅLSSTÖRNING PÅ INKOMMÅNDR SS-KONC. MED PEGLERING

255	I	215	I	131	I	100	I	82	I	69	I	58	I	104
271	I	241	I	173	I	139	I	116	I	98	I	83	I	116
284	I	265	I	223	I	191	I	164	I	141	I	119	I	128
297	I	292	I	290	I	265	I	233	I	201	I	171	I	135
315	I	327	I	392	I	371	I	330	I	287	I	244	I	220
342	I	375	I	557	I	527	I	468	I	406	I	345	I	381

 $T = 1.0 \text{ TIM}$

259	I	228	I	154	I	133	I	120	I	105	I	82	I	131
277	I	259	I	207	I	188	I	172	I	150	I	118	I	149
292	I	290	I	271	I	262	I	243	I	211	I	169	I	168
307	I	326	I	358	I	365	I	344	I	296	I	237	I	179
326	I	370	I	490	I	516	I	484	I	416	I	329	I	291
354	I	430	I	706	I	741	I	685	I	581	I	454	I	384

 $T = 5.0 \text{ TIM}$

255	I	215	I	131	I	100	I	84	I	74	I	66	I	123
271	I	241	I	172	I	139	I	118	I	105	I	94	I	137
284	I	265	I	217	I	187	I	165	I	148	I	134	I	152
297	I	291	I	278	I	254	I	229	I	209	I	189	I	162
315	I	325	I	369	I	349	I	322	I	296	I	268	I	270
342	I	371	I	517	I	490	I	456	I	420	I	380	I	399

 $T = 7.0 \text{ TIM}$

255	I	212	I	128	I	94	I	76	I	63	I	53	I	96
271	I	237	I	169	I	131	I	107	I	89	I	75	I	107
284	I	262	I	218	I	181	I	151	I	127	I	108	I	118
297	I	290	I	283	I	250	I	214	I	181	I	155	I	125
315	I	325	I	380	I	347	I	301	I	258	I	221	I	207
342	I	372	I	540	I	490	I	426	I	364	I	313	I	386

 $T = 9.0 \text{ TIM}$

Fig 5:15 SÄNSITÖRNING PÅ INKOMMÄNDE VÄTSKEFÖLÖDE, OIN, OCH PÅ
INKOMMÄNDE SÖLKONC, SÖL; MED REGELBRÖD.

255	I	215	I	131	I	100	I	82	I	69	I	58	I	104
271	I	241	I	173	I	139	I	116	I	98	I	85	I	116
284	I	265	I	223	I	191	I	164	I	141	I	119	I	128
297	I	292	I	290	I	265	I	233	I	201	I	171	I	135
315	I	327	I	392	I	371	I	330	I	287	I	244	I	220
342	I	375	I	557	I	527	I	468	I	406	I	345	I	381

T = 0,0 TIM

227	I	155	I	81	I	48	I	26	I	13	I	10	I	18
243	I	177	I	107	I	66	I	38	I	20	I	14	I	20
256	I	203	I	138	I	89	I	54	I	29	I	20	I	22
269	I	235	I	179	I	119	I	74	I	42	I	28	I	23
284	I	274	I	237	I	161	I	101	I	59	I	38	I	38
304	I	323	I	325	I	216	I	136	I	79	I	52	I	45

T = 12,0 TIM

368	I	308	I	269	I	185	I	126	I	95	I	71	I	97
391	I	345	I	306	I	233	I	172	I	131	I	100	I	109
409	I	378	I	345	I	290	I	230	I	181	I	138	I	123
427	I	413	I	388	I	362	I	306	I	247	I	191	I	132
450	I	458	I	439	I	462	I	415	I	339	I	261	I	211
487	I	522	I	500	I	615	I	572	I	463	I	355	I	309

T = 16,0 TIM

332	I	290	I	218	I	161	I	134	I	118	I	104	I	184
353	I	326	I	271	I	219	I	188	I	166	I	146	I	205
371	I	361	I	330	I	289	I	257	I	230	I	205	I	225
390	I	399	I	400	I	382	I	352	I	319	I	286	I	236
415	I	446	I	498	I	514	I	486	I	445	I	399	I	382
455	I	513	I	649	I	721	I	681	I	623	I	559	I	590

T = 22,0 TIM